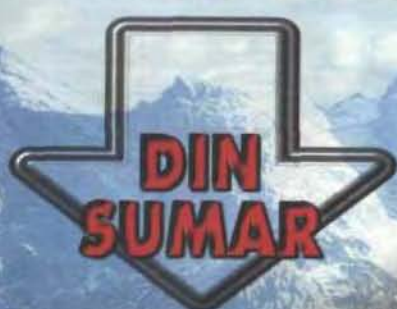
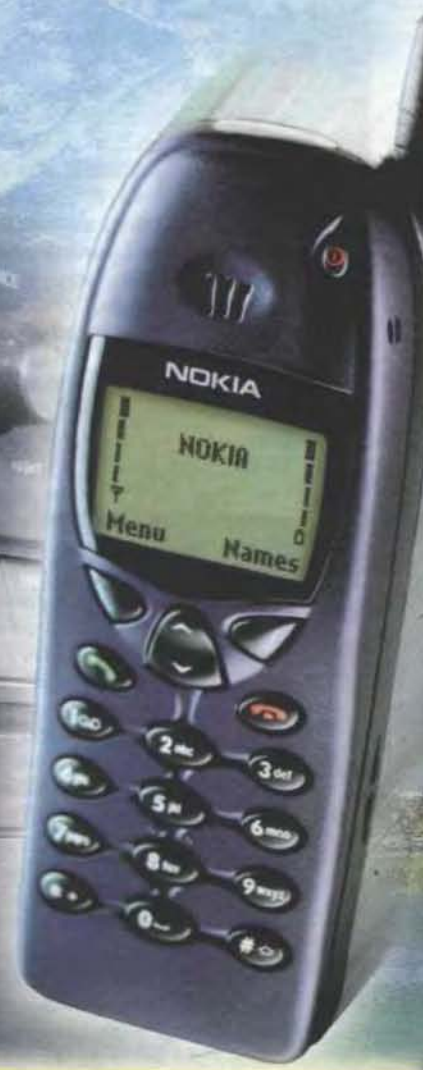


Technium

Revistă lunară pentru electroniști



- ✓ Preamplificatoare audio de calitate cu LM 833
- ✓ Rostovomania (IV)
- ✓ Receptor SSB cu 3 circuite integrate
- ✓ Oscilator US cu 4 benzi
- ✓ Laboratorul electronistului
- ✓ Fazmetru analogic cu detectare de sens
- ✓ Generator de semnale dreptunghiulare
- ✓ Voltmetru cu L.C.D. cu 4 1/2 digiti
- ✓ Noutăți editoriale
- ✓ Ruptor electronic
- ✓ Termostat cu reglare continuă a puterii de încălzire
- ✓ Supraveghetor de flacără
- ✓ Cei doi Thompson



VITACOM
Electronics

CLUJ-NAPOCA
Str. Gh. Bilășu nr. 75
Tel.: 064-438401; Fax: 064-438403, bbs: 064-431731
e-mail: office@vitacom.dntcj.ro, http://www.vitacom.dntcj.ro

BUCURESTI
Str. Popa Nan nr. 9, sector 2, tel.: 01-2525251, fax: 01-2524214
Bd. Nicolae Titulescu nr. 62-64, sector 1, tel.: 01/2229911, fax: 01-2234679
e-mail: vitacom@dnt.ro

TIMIȘOARA
Str. Lucian Blaga nr. 1
Tel./Fax: 056-136160
e-mail: vitacom@dtm.ro

PARTENERUL IDEAL ÎN ELECTRONICĂ

PREAMPLIFICATOARE AUDIO DE CALITATE CU LM 833

Aurelian Lazaru

Audiofilii anilor '70 erau interesati de circuitele integrate LM381 si LM387, renumite pentru zgomotul redus. Pe parcursul anilor au fost elaborate si alte circuite integrate performante, ale caror caracteristici tehnice principale sunt prezentate in tabel (preluat din ELEKTOR 3/1991). In acest tabel sunt incluse amplificatoare operationale dedicate aplicatiilor audio de performanta, dar si cateva amplificatoare operationale standard pentru a sublinia unele diferente specifice.

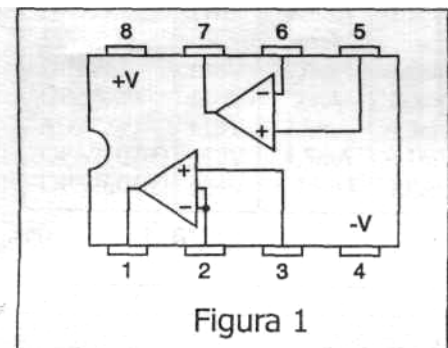


Figura 1

LM833 face parte din categoria circuitelor integrate proiectate la NATIONAL SEMICONDUCTOR, special pentru accentuarea performantelor in sistemele audio. LM833 este un dublu amplificator operational pentru a carui realizare s-a apelat la circuite si tehnici de procesare speciale. In scopul obtinem unui zgomot redus, viteza mare si banda larga, fara a mari numarul componentelor externe si fara a afecta stabilitatea. Cele doua amplificatoare operationale sunt compensate intern pentru orice castig in bucla inchisa si sunt optimizeaza in vederea folosirii lor in diferite tipuri de Preamplificatoare sau etaje de semnal mare, din sisteme HiFi sau PCM.

Configuratiile terminalelor corespunzatoare circuitului integrat LM833 este identica cu cea a amplificatoarelor operationale duble standard (vezi figura 1).

Conform catalogelor NATIONAL SEMICONDUCTOR, circuitul integrat LM833 este echivalent cu HA5102 (HARRIS), HA12012 ((HITACHI), MC33078 (MOTOROLA), NE4558 (PHILIPS), SSM2139

(PMI), NE5532 (SIGNETICS) si RC4558 (TI).

In afara parametrilor inscrisi in tabel, la pozitia corespunzatoare circuitului integrat LM833 sunt de retinut si altii:

- distorsiuni armonice: 0,002%;
- latimea de banda de putere: 120kHz;
- domeniu dinamic: >140dB.

LM833 admite sarcini capacitive pana la 50pF, pentru care caracteristica de faza si stabilitatea amplificatorului nu sunt afectate. Pentru sarcini mai mari de 50pF se recomanda separata.

20kHz, datorita rezonantei electrice formata de inductanta dozei si capacitatea de intrare a preamplificatorului. La iesirea dozelor cu bobina mobila, care au o inductanta foarte mica, pot aparea semnale de frecventa inalta ce pot atinge chiar 150kHz. In aceasta situatie, etajele ce urmeaza dupa preamplificatorul egalizor sau amplificatorul de putere pot induce distorsiuni cauzate de limitarile vitezei de urmarire ale acestora. Desi aceste semnale ultrasonore nu sunt percepute, ele produc distorsiuni ale semnalelor audio.

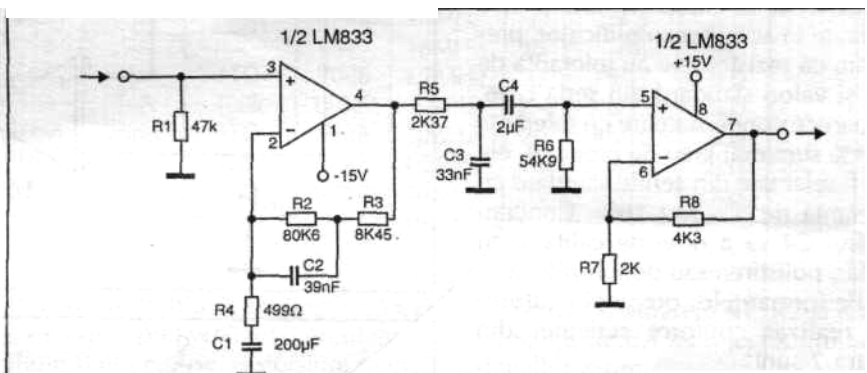


Figura 2

rarea acestora fata de iesirea amplificatorului operational. Cel mai simplu mijloc de a obtine aceasta separare consta in inserarea iesirii cu un rezistor. In acest fel, se evita si o crestere excesiva a puterii disipate atunci cand iesirea este scurtcircuitata accidental.

Cele mai uzuale aplicatii ale circuitului integrat LM833 vizeaza realizarea preamplificatoarelor pentru doze de pick-up si pentru microfoane de inalta calitate.

In cazul preamplificatoarelor pentru doze de pick-up se urmareste realizarea unei curbe de egalizare RIAA cat mai precisa, concomitent cu obtinerea unui raport semnal/zgomot cat mai mare si a unor distorsiuni armonice reduse.

Eventualele erori ale raspunsului in amplitudine risca sa produca distorsiuni in etajele urmatoare ale unui sistem audio, datorita trecerii semnalelor de frecventa inalta de la doza prin egalizorul RIAA, fara o suficienta atenuare. In cazul dozelor cu magnet mobil, aceasta problema nu este importanta, deoarece banda de frecventa este limitata la aproximativ

Dupa cum este cunoscut, reteaua de egalizare RIAA poate fi asociata unui amplificator operational utilizat in configuratie inversoare sau neinversoare; fara a intra in amanunte, precizam ca ambele variante prezinta dezavantaje specifice.

In schema din figura 2, preamplificatorul este realizat cu cele doua amplificatoare operationale din structura circuitului integrat LM833. Primul amplificator operational produce egalizarea semnalelor cu frecventa cuprinsa intre 50Hz si 500Hz ($x_1 = 3180 \mu s$ si $x_2 = 318 \mu s$). Atenuarea semnalelor cu frecventa situata peste 2120 Hz ($T_3 = 75 \mu s$), se face prin intermediul retelei pasive formata din R5, R6, C3. Cel de al doilea amplificator operational este utilizat pentru o amplificare suplimentara de 10 dB.

Folosirea celor doua amplificatoare operationale in preamplificatorul propus (spre deosebire de Varianta clasica, cu un singur amplificator operational), prezinta urmatoarele avantaje:

- se obtine un raspuns RIAA foarte precis, fara cresterea zgomotului specific configuratiei inversoare;
- factorul de distorsiune armonica este foarte redus, deoarece ambele amplificatoare operationale sunt folosite ca amplificatoare cu castig redus, ceea ce nu este cazul preamplificatoarelor A_n care se utilizeaza un singur amplificator operational;
- deoarece retelei de reactie negativa capacitive nu i se aplica intreaga tensiune de iesire a preamplificatorului, rezulta o reducere suplimentara a distorsiunilor armonice.

Referitor la componentelete pasive utilizate in acest preamplificator, precizam ca rezistoarele au toleranta de 1% si valori standard din seria E-96. Deoarece condensatoare cu toleranta de 1% sunt mai greu de procurat, ele vor fi selectate din serile standard cu toleranta de 5% sau 10%. Condensatorul C₄ va fi unul de calitate, cu mylar, polistiren sau polipropilena.

Performantele preamplificatorului realizat conform schemei din figura 2 sunt:

- curba de egalizare este foarte precisa, prezentand abateri de maximum 0,1 dB fata de raspunsul RIAA ideal, in domeniul de frecventa cuprins intre 20Hz si 20kHz (cand se folosesc componente cu toleranta de 1 %);
- amplificarea globala este egala cu 36dB;
- distorsiunile armonice se mențin sub 0,002% pentru frecvențele situate sub 2kHz și cresc pana la maximum 0,01% (pentru $f = 20$ kHz și $V_o = 1$ Vrms);
- raportul semnal/zgomot raportat la un semnal de intrare cu amplitudinea de 5mV și frecvența de 1 kHz este de 82dB sau 87dB.

In cele ce urmeaza vom prezenta doua scheme de Preamplificatoare pentru microfoane de uz profesional.

Dupa cum se stie, gama dinamica a semnalelor sonore este foarte larga, cuprinsa intre 30dB SPL (zgomotul ambiental dintr-o camera linistita) si peste 130dB SPL. Tensiunea de iesire la bornele unui microfon de impedanta joasa (200 Ohm), cores-

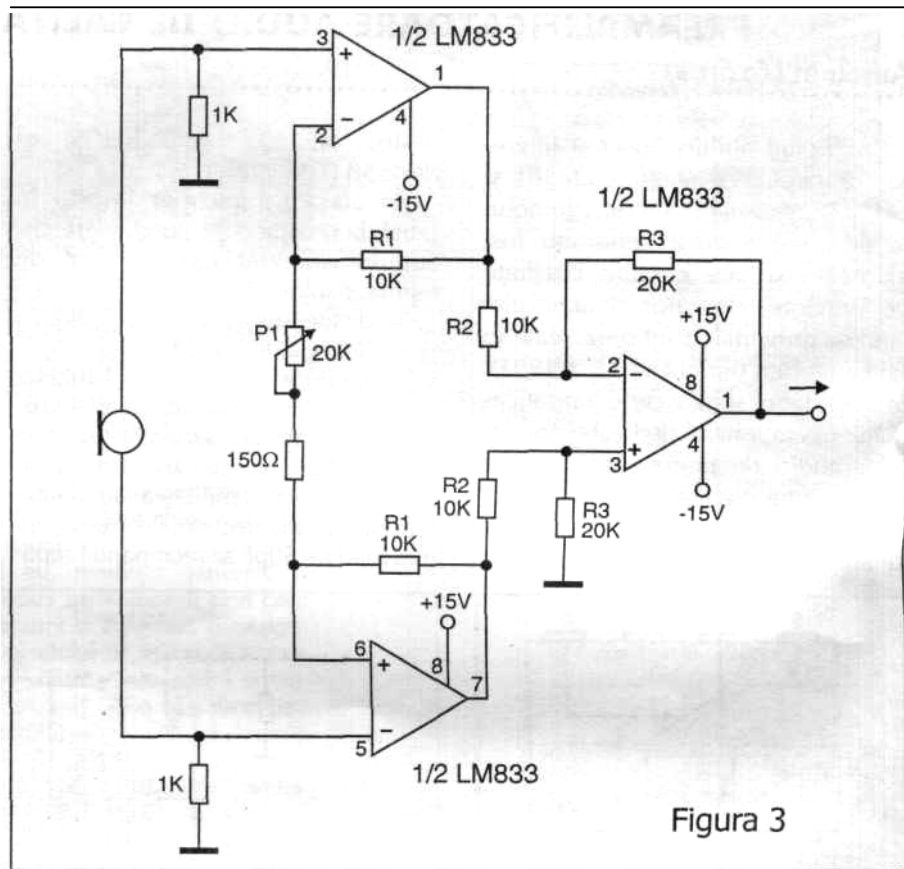


Figura 3

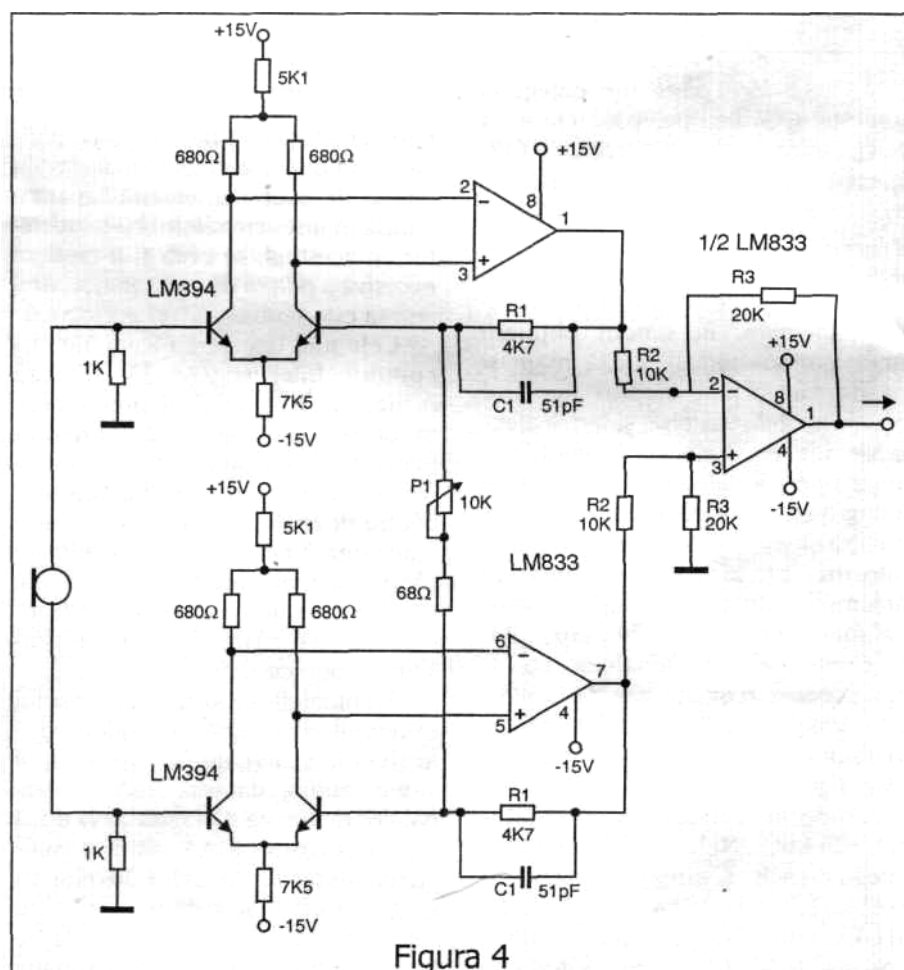


Figura 4

Tabel

	Ubmax.	I _{supply} (per amp)	Input offset voltage	Input offset current	Input bias current	Input imp.	CMRR	GB GB prod.	^{SR} V/us	Unoise nVVHz 10Hz/1kHz	R _{load} R _{load} min.	Unity gain stable
Single OA												
TL071 (F)	±18V	1,4mA	3 mV	5pA	30pA	1TOhm	86dB	3MHz	13	45/18	2k	da
NE5534(B)	+22V	4mA	0,5 mV	20nA	500nA	100k	100dB	10MHz	13	9/4	0,6k	nu (A > 3)
SSM2131(F)	+20V	5,1mA	1,5mV	6pA	130pA	-	92dB	10MHz	50	38/13	1k	da
SSM2134(B)	±22V	4,5mA	0,3 mV	15nA	300nA	100k	114dB	10MHz	13	4,5/3,5	0,6k	nu (A > 3)
OP27(B)	+22V	2,5mA	30uV	12nA	15nA	4M	120dB	8MHz	2,8	3,8/3,2	0,6k	da
OP37(B)	±22V	3 mA	30uV	12nA	15nA	4M	120dB	63MHz	17	45/18	0,6k	nu (A>5)
AD711(F)	±18V	2,5mA	0,3 mV	10pA	15pA	3TOhm	88dB	4MHz	20	4,5/3,5	2k	da
LT1028(B)	±22V	7,6mA	20uV	18nA	30nA	300M	126dB	75MHz	15	1/0,9	0,6k	nu (A > 2)
LT1115(B)	±22V	8,5mA	50uV	30nA	150nA	250M	123dB	70MHz	15	1/0,9	0,6k	nu
Dual OA												
TLO72 (F)	±18V	1,4mA	3 mV	5pA	30pA	1TOhm	86dB	3MHz	13	45/18	2k	da
NE5532(B)	±22V	4mA	0,5mV	10nA	200nA	300k	100dB	10MHz	9	12/5	0,6k	
NE5535(B)	+18V	1,8mA	2mV	15nA	65nA	6M.	90dB	1MHz	15	50/30	0,6k	
LM833(B)	+18V	2,5mA	0,3 mV	10nA	500nA	—	100dB	15MHz	7	7/4,5	2k	"
SSM2132(B)	-	4mA	—	—	—	—	—	16MHz	15	■76	0,6k	
OP249(F)	±18V	5,6mA	0,2mV	6pA	30pA	1TOhm	90dB	4,7MHz	22	75/17	2k	
OP270(B)	+18V	2mA	50uV	5nA	5nA	400k	110dB	5MHz	2,4	3,6/3,2	2k	"
AD712(F)	±18V	2,5mA	0,3 mV	10pA	25pA	3TOhm	88dB	4MHz	20	45/18	2k	"
OPA2107(F)	±18V	4,5mA	0,1 mV	1pA	4pA	10TOhm	94dB	4,5MHz	18	30/9	2k	"
OPA2604(F)	±24V	4,75mA	0,1 mV	10pA	25pA	1TOhm	100dB	10MHz	25	30/11	0,6k	"

OA (B) = BIPOAR; OA (F) = FET

punzatoare unei asemenea game dinamice, variaza intre 20 (uV si 2Vrms. (Precizam ca tensiunea de zgomot proprie microfonului este de aproximativ 0,25 (uV in tot domeniul audio). Deoarece variatia tensiunii la iesirea microfonului este atat de mare, preamplificatorul de microfon trebuie sa aiba castig reglabil, optimizat pentru fiecare aplicatie in parte. Semnalele putemice trebuie sa fie preluate fara aparitia unor distorsiuni excesive, iar semnalele slabie nu trebuie sa fie afectate de zgomotul preamplificatorului. De aceea, zgomotul preamplificatorului trebuie sa fie minim, iar influenta campurilor magnetice asupra cablului de interconectare cu microfonul sa fie cat mai redusa.

Pentru minimalizarea brumului indus in cablurile lungi, microfoanele profesionale au iesire simetrica/balansata. Cablul de interconectare este format din doua fire torsadate, introduse intr-un ecran. Teoretic, campurile magnetice perturbatoare vor induce tensiuni egale pe fiecare dintre cele doua fire, tensiuni ce pot fi eliminate daca semnalele sunt aplicate unui transformator sau amplificator diferential.

In schemele din **figurile 3 si 4** sunt prezентate doua Preamplificatoare de microfon cu intrare diferentiala, fara transformator de intrare. Evitarea

transformatorului prezinta cateva avantaje: pret scazut, greutate si dimensiuni reduse, distorsiuni mici.

Pentru preamplificatorul din **figura 3**, tensiunea echivalenta de zgomot la intrare este de cca. 760 nV in domeniul 20Hz-20kHz (-122dB raportat la 1 V), ceea ce reprezinta cu 26dB mai putin decat iesirea unui microfon uzual pentru un nivel de 30dB SPL, corepunzator zgomotului ambiental dintr-o camera liniștită. Distorsiunile armonice totale sunt sub 0,01% la amplificare maxima si scad la 0,002% la amplificare minima.

Pentru aplicatii speciale sau pentru microfoane cu sensibilitate scazuta, se recomanda preamplificatorul prezentat in schema din **figura 4**. In acest preamplificator se folosesc la intrare superperechile de tranzistoare LM394 cu zgomot redus; LM833 este utilizat ca amplificator. In aceasta configuratie, tensiunea echivalenta de zgomot la intrare este de aproximativ 2,4nV/VHz la castig maxim, ceea ce inseamna un nivel de zgomot la intrare de 340nV, sau -129 dB raportat la 1V.

In ambele scheme, potentiometrul P1 este utilizat pentru reglarea amplificarii intre 4 si 270. Amplificarea maxima este limitata prin intermediul rezistorului inseriat cu potentiometrul P1 si rezistenta reziduala a acestuia din urma.

Daca rezistoarele R1, R2 si R3 au toleranta de 0,1%, rejectia brumului si a altor zgomote induse in cablul de interconectare este cuprinsa intre minimum 44dB si aproximativ 60dB. Daca se doreste o rejectie mai buna, se inlocuieste unul dintre rezistoarele R3 cu un rezistor de 18 K. inseriat cu un semireglabil de 5k, care se foloseste pentru reglajul CMMR.

Pentru evitarea interferentelor de radiofrecventa se recomanda conectarea unor condensatoare de 470 pF intre intrari si masa.

In final, mentionam ca NATIONAL SEMICONDUCTOR produce si un amplificator operational cvadru-plu cu performante asemanatoare circuitului integrat LM833, sub codul LM837; este recomandat de producator pentru aplicatii audio digitale, egalizoare grafice, Preamplificatoare si alte aplicatii audio profesionale. O caracteristica specifica acestui circuit integrat este aceea ca iesirile celor patru amplificatoare operationale pot debita pe sarcina de 600 Ohm.

Bibliografie:

Lacanette, K., High-Performance Audio Applications of the LM833, NATIONAL SEMICONDUCTOR AN-346.

ROSTOVOMANIA (IV)

Idei si solutii practice de imbunatatire a magnetofonului ROSTOV

Florin Gruia

- urmare din nr. 1/2000 -

Am aratat intr-un numar anterior ca una din marile deficiente ale acestui magnetofon consta in imposibilitatea inregistrarii pistă cu pistă. Ea se efectueaza simultan pe ambele piste, existand riscul sa stergem din greseala o pistă, in cazul inregistrărilor mono vechi.

prindere si distantiere, conform noii structuri mecanice. Se va reface si tija interioara, cea care roteste contactele galetilor. Intre noi galeti si cel vechi (al redarii), cat si intre cei doi noi galeti este utila introducerea a doua ecrane, ce vor proteja circuitele de influentele electrice reciproce. Tot ca sfat constructiv, recomandam utilizarea galetului de

trare sa fie aceiasi in cele trei situatii (mono L, mono R si stereo).

Odata determinata valoarea rezistentelor echivalente, se pot inlocui cu altele fixe. Acest mod de comutare mentine sarcina constanta pentru oscilatorul de premagnetizare, evitandu-se variația premagnetizarii la schimbarea modului de lucru (figura 1).

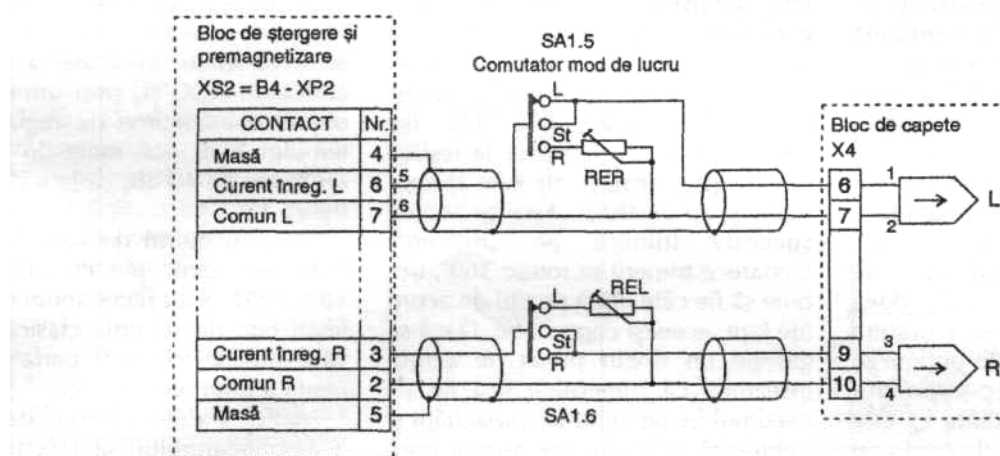


Figura 1

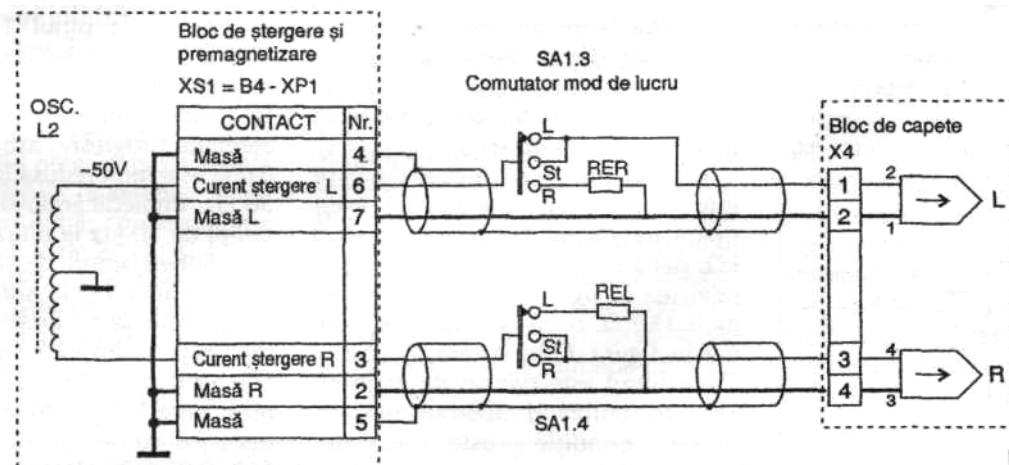


Figura 2

Pentru a remedia acest neajuns, se va modifica comutatorul rotativ de pistă, în sensul că i se vor adăuga doi galeti pentru comutarea capetelor de stergere și a celor de înregistrare. Capetele de citire se comută pistă cu pistă din constructie. Comutatorul de pistă, notat în schema fabricantului cu SA1.1 și SA1.2, se reface folosind galetii originali de la alte două comutatoare de pistă. Se vor confectiona alte suruburi de

înălțări și distanțiere, conform noii structuri mecanice. Se va reface și tija interioară, cea care roteste contactele galetilor. Între noi galeti și cel vechi (al redarii), ca și între cei doi noi galeti este utilă introducerea a două ecrane, ce vor proteja circuitele de influențele electrice reciproce. Tot ca sfat constructiv, recomandăm utilizarea galetului de

stergere și distanțiere, conform noii structuri mecanice. Se va reface și tija interioară, cea care roteste contactele galetilor. Între noi galeti și cel vechi (al redarii), ca și între cei doi noi galeti este utilă introducerea a două ecrane, ce vor proteja circuitele de influențele electrice reciproce. Tot ca sfat constructiv, recomandăm utilizarea galetului de

stergere și distanțiere, conform noii structuri mecanice. Se va reface și tija interioară, cea care roteste contactele galetilor. Între noi galeti și cel vechi (al redarii), ca și între cei doi noi galeti este utilă introducerea a două ecrane, ce vor proteja circuitele de influențele electrice reciproce. Tot ca sfat constructiv, recomandăm utilizarea galetului de

stergere și distanțiere, conform noii structuri mecanice. Se va reface și tija interioară, cea care roteste contactele galetilor. Între noi galeti și cel vechi (al redarii), ca și între cei doi noi galeti este utilă introducerea a două ecrane, ce vor proteja circuitele de influențele electrice reciproce. Tot ca sfat constructiv, recomandăm utilizarea galetului de

RECEPTOR SSB CU 3 CIRCUITE INTEGRATE

ing. Dinu Cosfin Zamfirescu/Y03EM

- urmare din nr. trecut -

Deoarece nu se dispune de un cuart adecvat (uneori nici de cel original), iar „tragerea” frecventei quartului de 500 kHz cu aproape 4 kHz este exclusa, în figura 6 este data schema unui oscilator de purtatoare LC care se poate conecta la CI₂. Între pinii 6 și 8 în locul quartului. Deși mai slabă decât a quartului, stabilitatea de frecvență pe timp indelungat este acceptabilă (alunecarea de frecvență este cel mult 100 Hz). Dificultatea este reglarea corectă a frecvenței, deoarece filtrul să ar putea să difere întrucâtva de datele de catalog. Un radioamator experimental poate face acest reglaj și „după ureche”, urmărindu-se în difuzor cum se „redă” o purtatoare în cele două benzi laterale la actionarea acordului receptorului, dar rezultate optime se obțin numai cu frecventmetrul conectat la pinul 8. Bobina L₆ este tot de tipul bobinelor L₁ L₅ și anume bobine din blocul de sunet al televizoarelor indigene alb-negru cu circuite integrate. Ele sunt prevazute cu miez de tip oala și sunt ecranate (10 x 10 x 15 mm). Se va bobina cu sarma CuEm 0,1 mm. Condensatoarele de acord sunt cu styroflex.

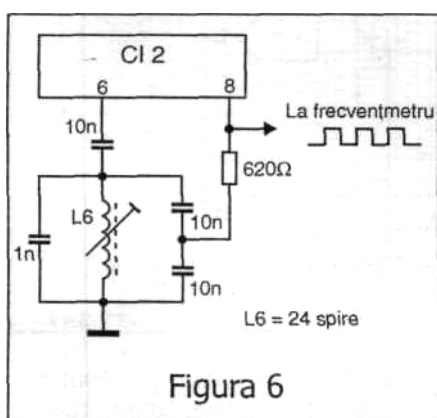


Figura 6

Deoarece pe bobina L₆ apare o tensiune foarte mică (zeci de milivolti) nu apar fenomene de saturatie sau de instabilitate datorită incalzirii (cu fractiuni de grad, fireste) asa cum se întâmplă în unele oscilatoare LC la care tensiunea pe bobina atinge cîteva volți. Stabilitatea de frecvență va fi bună, dar pot apărea probleme de stabilitate mecanică,

deoarece constructia bobinei este foarte simplă: se va evita folosirea în oscilatoare (L₄ și L₅) a unor bobine cu partea mecanică uzată și se va evita fixarea „clasica” cu ceară.

Revenind la schema din figura 1, să remarcăm că intrarea și ieșirea filtrului se acordă cu ajutorul unor capacitive de circa 80 pF. Aceasta operă se face simplu, urmărindu-se receptia unei purtatoare slabe (eventual cu sistemul AGC deconectat), care se prezintă în difuzor sub forma unei fluieraturi. Se va regla din acordul receptorului ca tonul să corespundă la circa 1850 Hz (se conectează frecventmetrul la ieșirea de difuzor, dar se poate face aproximativ și cu urechea). Apoi se acordă succesiv trimerii pe „maxim”. Deoarece trimerii se rotesc 360°, trebuie să fie cîte două pozitii de acord (de fapt, aceeași capacitate). Dacă se găsește un singur punct de acord, înseamnă că trimerul a fost să fie pe maximul fie pe minimul capacitatii și trebuie să se actioneze asupra condensatorului fix de 56 pF.

Multi radioamatori nu fac acordul bobinelor terminale ale filtrului EMF și nu pot obține performanțele de fabrică (pierdere de insertie de 6 ... 10 dB, variații ale atenuării în banda de 1 ... 3 dB etc.).

O altă problemă legată de filtru este că rezistența de sarcină exterioară trebuie să fie cel puțin 100 K, dacă circuitul de acord este paralel (ca în figura 1, la ieșire) și cel mult 150 Ohm, dacă acordul este serie (ca în figura 1, la intrarea filtrului). Dacă filtrul este flancat de etaje cu FET-uri, utilizând acordul paralel, prima condiție este automat îndeplinită.

În schema din figura 1, la intrare a trebuit folosită configurația serie, întrucât impedanța de ieșire la pinul 14 este mică (circa 100 Ohm), iar la ieșire configurația clasica (paralel), deoarece la intrarea 12 impedanța este foarte mare (a se vedea figura 4). Acest aranjament duce la o majorare de circa 5 ori a coeficientului de transfer al filtrului (se multiplică cu factorul de calitate al bobinei terminale a filtrului). Astfel, dacă la pinul 14 apare un semnal de 1 mV în banda filtrului (de pildă, 501 KHz), la

intrarea filtrului va fi un semnal de 5 mV. La ieșire se obțin 1,5 ... 2,5 mV (funcție de pierderile de inserție de 6 ... 10 dB, minime în condiția de acord corect), care se aplică etajului DP.

Astfel, filtrul EMF, (ca și filtrul RF de intrare în receptor), contribuie într-o oarecare măsură la amplificarea etajului SF (în total circa 40 dB). Deoarece și etajul DP amplifică (30 ... 35 dB), este împedite că nu este necesară amplificare în lantul de frecvență intermediara. Un etaj AFI ar avea doar rolul de a permite comanda AGC și, prin urmare, să ar obțină o adâncime de reglaj a sistemului AGC mai mare (în total 80 dB în loc de 40 dB, ca în schema din figura 1).

Amplificatorul de audiofrecvență (AAF) este conceput cu CI3, de tip TBA 790T. S-au facut anumite modificări făcute de schema clasică, adecvate situației de a fi parte componentă a unui receptor SSB.

Astfel, s-a redus banda de trecere a amplificatorului, atât la frecvențe joase, cât și la frecvențe înalte. Condensatorul de cuplaj de la ieșirea de difuzor de la pinul 12 are numai 100 uF, iar condensatorul prin care se ataca intrarea 8 are doar 4,7 nF. Frecvențele audio sub 300 Hz sunt atenuate progresiv, astfel că amplificarea este mult redusă la frecvența de 50 Hz, impiedicându-se accesul brumului de 50 Hz în difuzor.

Condensatorul de reacție conectat între pinii 5 și 12 să marită la 1 nF, reducându-se amplificarea la frecvențe audio înalte (se poate testa chiar valoarea de 1,5 ... 2,2 nF). În plus, între DP și AAF există un filtru trece-jos aditional (rezistențele de 560 Ohmi. și 6,8 K. și condensatoare de 0,1 uF și 10 nF) care atenuă frecvențele audio peste 2,5 kHz. Astfel se reduce zgomotul receptorului în lipsa semnalului (fasatul) și se îngustează banda de trecere de la 300-3400 Hz că are FEM la circa 400-2600 Hz.

Desigur, se putea folosi un filtru trece-jos mai performant (un filtru activ RC), dar nu s-a dorit complacerea schemei.

O altă modificare este reducerea rezistenței conectate la pinul 6 la 22 Ohmi (sau chiar 15 Ohmi.); se obține o

crestere a castigului la circa 50 dB, in conditiile reducerii benzii amplificatorului.

Circuitul AGC (RAS) actioneaza asupra detectorului de produs. Tranzistorul BC 108 nepolarizat in colector (conectat la pinul 1 al CI2) se comporta in AF ca o rezistenta comandata de tensiunea continua baza-emitor, care se obtine prin redresarea cu dublarea de tensiune a semnalului AF present la iesirea 12 a circuitului CI3.

Astfel, daca pe baza tranzistorului ajunge o tensiune sub 0,5 V, rezistenta echivalenta care apare in audiofrecventa paralel cu rezistenta de 8,5 K (figura 4) este foarte mare si amplificarea DP este maxima (circa 35 dB). Daca tensiunea continua baza-emitor creste (0,6 ... 0,7 V), rezistenta echivalenta intre colector si emitor scade progresiv catre 40 ... 50 Q. In consecinta, amplificarea DP scade de 100 ... 200 ori, fiind proportionala cu rezistenta de sarcina totala echivalenta prezenta la iesirea multiplicatorului (la pinul 1).

De fapt, jonctiunea emitor-baza este atacata in curent prin intermediul unei rezistente mari (100 K sau chiar mai mult). Tensiunea la bornele condensatorului de 220 uF poate atinge chiar 7-8 V, fara ca CI3 sa distorsioneze. Aceasta tensiune este proportionala cu tensiunea AF la iesirea 12. Totusi, deoarece diodele au tensiune de prag, aceasta regula nu e strict valabila la semnale mici. Valorile celor doua condensatoare de la redresorul AF de 220 pF si 4,7 xF sunt alese astfel ca sistemul AGC sa raspunda foarte rapid la cresterea amplificarii si sa raspunda cu o oarecare intarziere la scaderea semnalului in circa 1 ... 2 sec). Intr-adevar,

dioda D₂ se blocheaza cand semnalul scade si condensatorul de 220 uF descarcandu-se pe rezistenta de 6,8 K lent, „tine” amplificarea DP redusa, polarizand in continuare tranzistorul.

Elementele sistemului AGC au fost indelung experimentate, realizandu-se un compromis intre receptia SSB si receptia CW.

Tensiunea de comanda AGC poate servi pentru actionarea unui instrument folosit ca S-metru. Pentru aceasta se conecteaza un miliampermetru c.c. in serie cu rezistenta de 6,8 K (figura 7). Condensatorul de 1000 uF evita miscarile bruste ale acului indicator.

Se poate acorda EMF si bobina L5, urmarindu-se in prealabil obtinerea unui ton de 1,5 ... 2 kHz. Se poate urmari acordul in difuzor sau chiar direct indicatia S-metru (cu AGC eventual deconectat, adica cu baza tranzistorului scurtcircuitata la masa).

Semnalul se poate reduce micsorand condensatorul cu care se ataca borna de antena. Filtrul de intrare se acorda initial aproximativ. Acordul exact se face doar in mijlocul benzii (3650 kHz), dupa cum s-a mentionat.

Sensibilitatea receptorului este mai buna de 1 uV (fara atenuatorul de la intrare), atenuarea frecventei

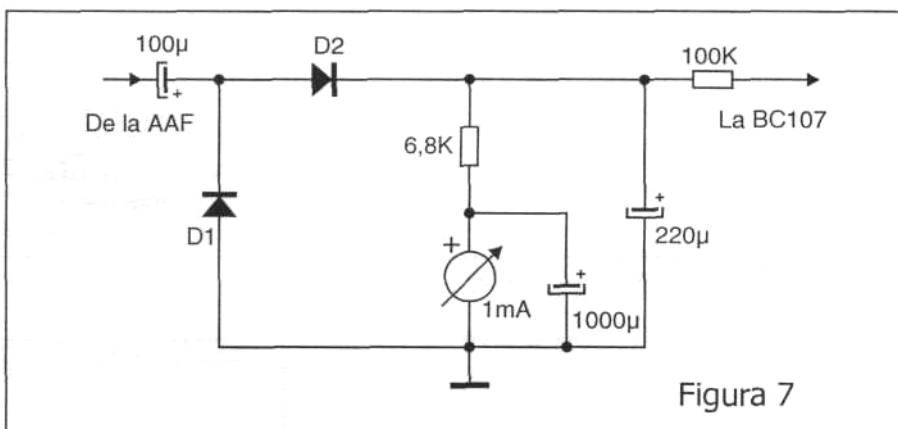


Figura 7

Reglajul receptorului incepe cu verificarea tensiunilor continue la pinii CI, conform catalogului. Apoi se verifica oscilatoarele. Exista posibilitatea de a aplica pentru reglaj, prin intermediul unui condensator de 50 ... 100 pF, semnal de la pinul 8 al DP direct la intrarea de antena. Armonica a 7-a a frecventei de purtatoare (3500 Hz) trebuie sa fie receptionata cu Cv aproape complet inchis.

Imagine 50 dB, iar gama dinamica 65 ... 70 dB.

Ultima cifra este modesta in comparatie cu receptoarele care au mixere cu diode sau FET-uri. De asemenea, dupa cum s-a aratat, adancimea de reglaj a sistemului AGC este doar de 40-45 dB. In schimb, in afara de avantajul simplitatii, schema prezinta o buna stabilitate de frecventa si are o selectivitate excelenta fata de canalul adjacente.

ANUNT IMPORTANT

Deoarece incepand cu unul dintre numerele viitoare ale revistei vom inangura rubrica „VANZARI-CUMPARARI-SCHIMBURI” va rugam sa ne scrieti si sa ne comunicati daca doriti sa vindeti, sa cumparati sau sa schimbati componente, aparate, reviste, carti din domeniul electronica.

Anunturile dvs. se vor publica gratuit, in limita spatiului disponibil. Nu uitati sa ne comunicati adresa si telefonul unde puteti fi contactati.

Publicarea anunturilor este gratuita doar pentru persoanele fizice. Societatile comerciale pot beneficia si ele de spatiu pentru anunturi, contra unor tarife modice.

De asemenea, fi rugam pe cei care doresc ca, prin intermediul revistei noastre, sa sponsorizeze unele actiuni din domeniul electronica (Concursul de Publicistica, Campionatul National de Creatie Tehnica, Concursurile de Radioamatorism etc.) sa ne contacteze.

Sponsorizarea poate consta in bani, componente sau aparate electronice, reviste sau carti de specialitate.

Precizam ca numele sponsorului va fi mentionat in cadrul actiunii respective si va fi facut public prin intermediul revistei noastre.

Va multumim!

OSCILATOR US CU 4 BENZI

ing. Petre Predoiu

Oscilatorul a carui schema este prezentata in **figura** poate echipa un radiorezistor cu frecventa intermedie de 455 kHz, alimentat la tensiunea de - 9 V.

alimentarea cu tensiune stabilizata; folosirea unui montaj CLAPP care are avantajul ca circuitul

caracteristicii si pentru a nu comprima frecventele in partea inferioara a benzilor. Separatorul s-a realizat cu tranzistorul T2-BF254. Nivelul de atac al separatorului este reglabil cu potentiometrul R6 si poate asigura la ieșire 2-2,5 V. Iesirea s-a facut prin un transformator de radiofrecventa.

Bobinele s-au realizat pe carcase cu diametrul de 6 mm de miezuri de ferita, provenite din media frecventa a televizoarelor dezafectate.

Functia de Comutator de banda o indeplineste un rotactor Tv cu unele modificari.

Condensatoarele C1...C7 sunt ceramice cu pasta tip U (coeficient de temperatura negativ) si toleranta ±5%.

Datele bobinelor sunt prezentate in **tabelul 2**.

Tabelul 1

Banda receptionata [MHz]	Frecvenetele oscilatorului [MHz]
B 1 -> 5,500- 3,800	3,955- 4,255
BII -> 7,000- 7,100	7,445- 7,555
BIII -> 14,000-14,350	13,545-13,895
BIV-> 21,000-21,450	20,545-20,995

Benzile receptionata si frecvenetele oscilatorului se dau in **tabelul 1**.

Radioamatiorii incepatori cu posibilitati materiale modeste nu-si pot permite construirea unui oscilator multi-banda cu cuarturi sau bucla PLL.

Pentru inceput de activitate, da sa satisfac tie deplina un oscilator fara

acordat este cuplat slab cu tranzistorul; folosirea unui etaj separator pentru reducerea influentei sarcinii asupra oscilatorului; folosirea in circuitele acordate de condensatoare ceramice cu coeficient de temperatura negativ.

Tabelul 2

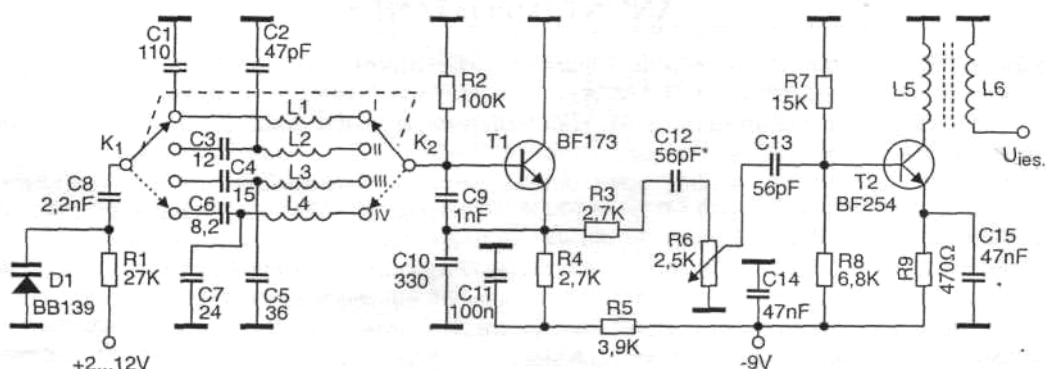
Bobina	Banda de freqv. [MHz]	Diametrul sarmeii [mm]	Diametrul sarmeii Cu Em [mm]	Nr. spire	Felul bobinarii
L1	3,500- 3,800	6	0,16	40	un strat spira langa spira
L2	7,000- 7,100	—	0,27	38	—
L3	14,000-14,350	—	0,33	28	—
L4	21,000-21,450	—	0,33	16	—
L5	—	—	0,27	17	—
L6	—	—	0,27	6	L6 se bobineaza langa L5

cuarturi, mai ales pentru un receptor care are amplificatorul de frecventa intermedie cu banda mai larga (5-6 kHz), fara filtre de quart. Montajul s-a realizat cu unele precautii pentru imbunatatirea stabilitatii frecvenetei ca:

Oscilatorul s-a realizat cu tranzistorul T1-BF173 in schema CLAPP.

Acordul in fiecare banda se realizeaza cu ajutorul unei diode varicap, care se alimenteaza cu tensiune de 2...12 V si nu de 28 V, pentru a lucra intr-o zona cat mai liniara a

Se recomanda introducerea montajului intr-o cutie de tabla de Al ~1mm. Piese se asambleaza pe o bucată de circuit imprimat fara pretentii deosebite. Montajul a fost experimentat si da deplina satisfactie.



Figura



LABORATORUL ELECTRONISTULUI. APARATE DE MASURA. GHID DE UTILIZARE (VI). Frecventmetre digitale

ing. Serban Naicu

- urmare din nr. trecut -

Selectarea modului de masurare si a scarii de masurare se face automat, in functie de frecventa de intrare, astfel incat sa se obtina rezolutia maxima.

Viteza de masurare:

- rapid: circa 100 ms (afiseaza 6 cifre)
 - normal: circa 1 s (afiseaza 7 cifre).
- Aparatul este prevazut cu interfata la magistrala standard CEI-625.

In figura 3a este prezentat panoul frontal al frecventmetrului numeric E-0208. Notatiile sunt urmatoarele:

7 - Comutator fara retinere pentru trecerea aparaturii in modul de lucru LOCAL.

8 - Comutator cu retinere pentru selectarea vitezei de masurare. Apasat selecteaza masurarea rapida, depresat masurarea normala.

9 - Potentiometru rotativ pentru comanda timpului de afisare.

10 - Potentiometru rotativ pentru comanda nivelului de triggerare.

11 - Comutator cu retinere pentru selectarea functiei autotriggerare.

12 - Comutator cu retinere pentru selectarea atenuarii.

3 - Comutator superminiatura prin translatie INT/EXT.

4 - Borna de pamant conectata la masa aparaturii.

5 - Siguranta fuzibila (0,2A) care asigura protectia la scurtcircuit.

6 - Conector retea cu contact pentru pamant 220V; 50/60 Hz.

7 - Comutatoare superminiatura pentru translatie, A1 ... A5 selecteaza adresa aparaturii pe magistrala standard, iar TON activeaza modul de lucru VORBITOR.

8 - Conector fisa cu 25 de contacte (Magistrala CEI-625), care asigura conectarea la magistrala standard.

Exista 3 moduri de lucru:

A. Modul de lucru LOCAL

Toate functiunile aparaturii sunt comandate de pe panoul frontal.

Functia de autotestare se activeaza prin apasarea tastei TEST. Aparatul masoara si afiseaza frecventa pilot de 10 MHz x Functia viteza e masurare se comanda prin intermediul tastei DURATA MASURARE. Apasarea acesteia determina masurarea rapida pe 6 cifre, iar pozitia normala, masurarea obisnuita pe 7 cifre. In cazul frecventelor mai mari de 100 MHz, timpul de masurare fiind minim (10 msec), apasarea tastei nu are nici un efect si rezultatul se afiseaza tot pe 7 cifre.

B. Modul de lucru DISTANTA

Frecventmetrul E-0208 se conecteaza la magistrala standard prin conectorul MAGISTRALA CEI-625 de pe panoul spate.

C. Modul de lucru VORBITOR (TALK ONLY)

Acest mod de lucru se selecteaza prin pozitionarea comutatorului TALK ONLY de pe panoul spate pe pozitia 0.

Ei se foloseste intr-un sistem fara controlor alcătuit, de exemplu, din frecventmetrul E-0208 si un dispozitiv de înregistrare a rezultatelor masurarii, cum ar fi o imprimanta prevazuta cu interfata si cu modul de lucru ASCULTA (LISTEN ONLY).

In modul VORBITOR, functiunile aparaturii sunt controlate de pe panoul frontal si dupa fiecare masurare rezultatul este transmis prin interfata.

- continuare in nr. viitor —

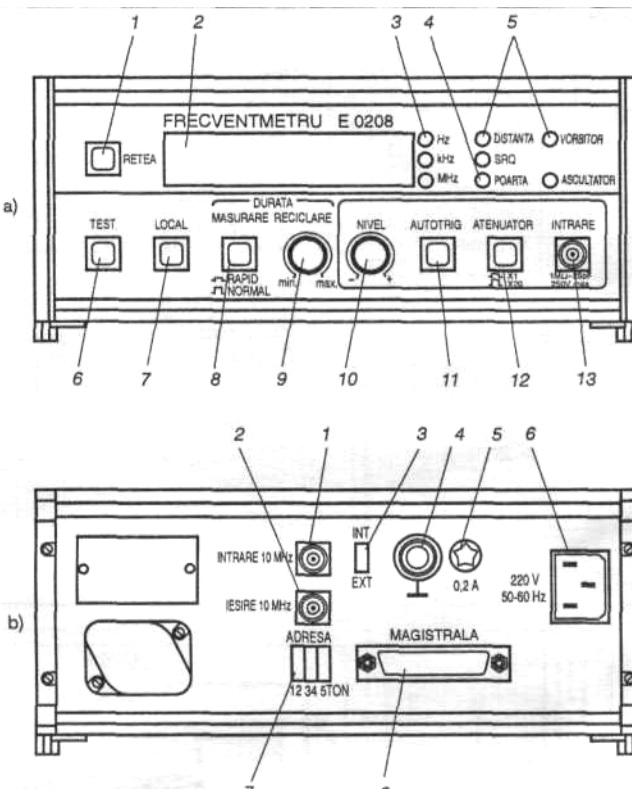


Figura 3

1 - Comutator retea.

2 - Afisaj numeric din 7 cifre cu punct zecimal pentru afisarea frecventei masurate.

3 - 3 LED-uri pentru Hz, kHz si MHz.

4 - LED pentru deschiderea portii. Aprinderea LED-ului indica deschiderea portii.

5 - 4 LED-uri pentru stari interfetei (DISTANTA, SRQ, VORBITOR, ASCULTATOR).

6 - Comutator cu retinere pentru selectarea functiei autotest.

13 - Borna BNC de intrare, care permite conectarea semnalului de masurat.

Panoul posterior (din spate) al frecventmetrului numeric E-0208 este prezentat in figura 3b. Notatiile sunt urmatoarele:

1 - Borna BNC pentru pilotarea externa, care permite conectarea unui semnal de pilotare externa de 10 MHz.

2 - Borna BNC pentru frecventa pilot interna, care furnizeaza frecventa pilot interna de 10 MHz.

FAZMETRU ANALOGIC CU DETECTARE DE SENS

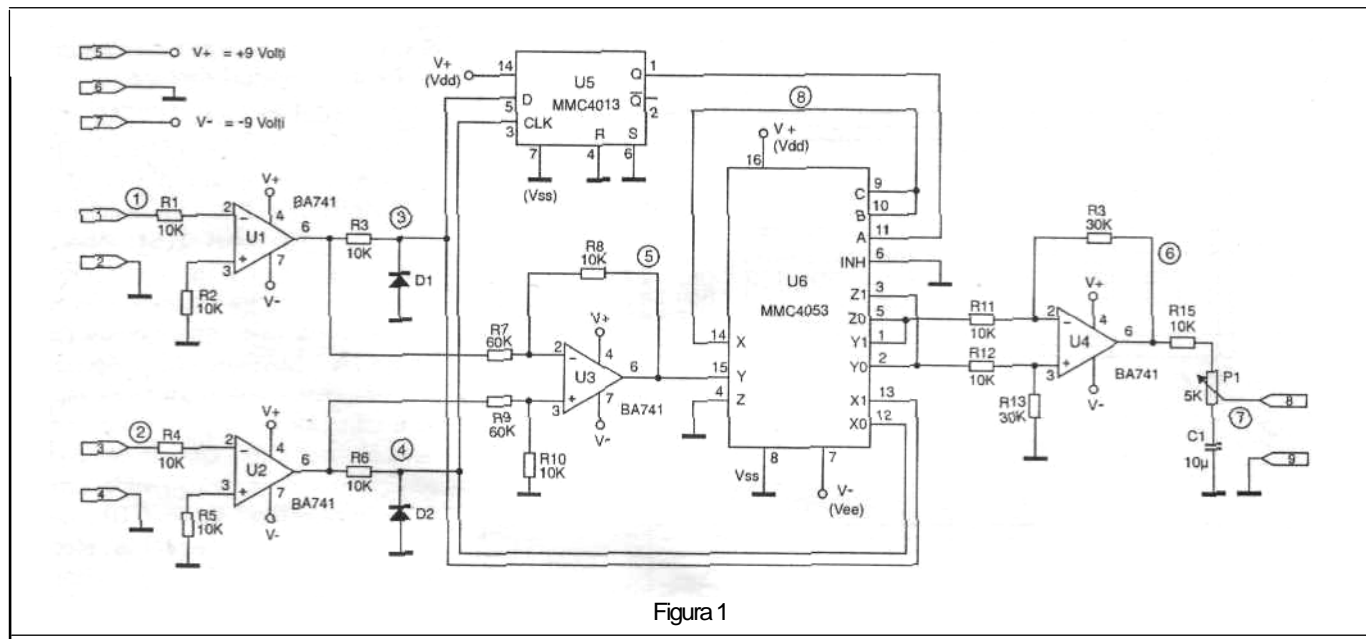
ing. Cristian Pirvu

Montajul serveste la masurarea diferenței de fază dintre două tensiuni sinusoidale pentru frecvențe între 20 Hz și 10 kHz, limitare a benzii datorită vitezei de variație scăzute a tensiunii de ieșire (slew rate) a amplificatorului integrat BA741, prin conversia defazaj - interval de timp - tensiune continuă. Se recomandă utilizarea cu precadere în domeniul industrial, în aplicații de joasă frecvență.

Se trece de la semnalele sinusoidale de amplitudine maxima de 9V la semnalele dreptunghiulare simetrice,

prin intermediul amplificatoarelor limitatoare U1 și U2 din figura 1. Panta marimii de intrare se reflectă în eroarea de fază, astfel ca la frecvențe foarte joase se impune o amplitudine apropiată de maxim. Schema nu conține și circuitele analogice de conditionare (izolare galvanică, amplificare, atenuare, filtrare) a semnalelor de intrare sinusoidale, specifice aplicației. Adaptarea funcționării circuitelor BA741 în regimul de comparător se realizează prin limitarea tensiunii de ieșire între V+ și -0,6 V,

valori compatibile cu circuitele CMOS, de către diodele D1 și D2 montate la ieșire și rezistoarele R3 și R6 prevăzute pentru limitarea curentului. Iesurile amplificatoarelor sunt conectate direct la intrările unui amplificator diferențial U3, realizat tot cu BA741, prin scaderea celor două tensiuni obținându-se o succesiune de impulsuri dreptunghiulare de ambele polarități, cu frecvența semnalelor de intrare și factor de umplere dependent de mărimea defazajului.



LABORATOR

Indicatia privind sensul defazajului se obtine prin intermediul unui bistabil de tip D. Circuitul integrat MMC4013 contine doi bistabili D cu intrari si iesiri separate. Transferul informatiei logice prezентate la intrarea DATA se face la tranzitie pozitiva a impulsului de ceas. Prin aplicarea la cele doua intrari a semnalelor obtinute la iesirile comparatoarelor U1 si U2, iesirea Q a bistabilului este mentinuta Tntr-una din cele doua stari logice, Tn functie de sensul defazajului.

Pentru tensiunea de intrare V(1) defazata Tn urma tensiunii V(2), frontul pozitiv al impulsului de ceas gaseste intrarea DATA in „1” logic, stare care este transferata la iesirea Q a bistabilului si concomitent la intrarea A de control a unui demultiplexor analogic cu doua canale, din cadrul integratului CMOS MMC4053. Semnalele de la iesirile comparatoarelor sunt prezente la intrarile demultiplexorului. Intrarea de control deblocheaza unu din cele doua comutatoare analogice, selectand Tn acest caz tensiunea V(3) pentru a fi aplicata simultan pe intrarile B si C de control ale celorlalte doua multiplexoare din cadrul aceluiasi integrat U6. Multiplexoarele si amplificatorul U4 constituie un amplificator cu polaritatea comutabila. Circuitul se comporta ca un amplificator neinvorsor pentru un

semnal de comanda Tn „0” logic, iar pentru un semnal Tn „1” logic, ca un inversor. Iesirile multiplexoarelor sunt interconectate doua cate doua, astfel meat la aplicarea semnalului util V(5) pe una din intrarile amplificatorului U4, cealalta intrare sa fie pusa la masa. Semnalul de comanda V(8) este sincron cu semnalul de intrare V(5). Pe palierul negativ al semnalului de comanda, impulsurile dreptunghiulare pozitive de la iesirea amplificatorului differential sunt transmise cu semnul neschimbat la iesirea U4. Impulsurile negative sunt, Tn schimb, aplicate de semnalul de control aflat Tn „1” logic pe intrarea inversoare a U4, obtinandu-se atel la iesire o succesiune de impulsuri dreptunghiulare pozitive cu frecventa dubla si cu factor de umplere proportional cu defazajul tensiunilor de intrar V(1) si V(2), unde:

$$AcD = 180^\circ T;$$

x - factor de umplere

Atunci cand tensiunea V(2) este defazata Tn urma V(1), iesirea Q a bistabilului trecem „0”, pe intrarile B si C de control ale multiplexoarelor aplicandu-se semnalul V(4) de la iesirea celui de-al doilea comparator. Astfel, impulsurile pozitive vor fi cele inverse, Tn vreme ce impulsurile negative nu-si schimba polaritatea.

Semnalul continuu, pozitiv sau negativ, de la iesirea filtrului „trece

jos” este o functie liniara de defazajul dintre cele doua tensiuni aplicate la intrarea montajului:

$$\begin{aligned} U_{med} &= U * \Delta\Phi / 180; \\ U_{med} &= V(7) \quad U = \pm 9V \end{aligned}$$

La iesire se monteaza un instrument analogic de masurare etalonat direct Tn unghiurile de defazaj sau Tn cos (A<J>). Valoarea de cap de scala se ajusteaza cu potentiometrul P1. Semnalul poate corespunde caracterului inductiv sau capacativ al unui receptor de energie caruia i se masoara diferența de faza A<> dintre tensiune si curent. Pentru realizarea unui montaj mai compact se foloseste un amplificator cvadruplu f}A324.

Sunt prezентate Tn **figura 2** cablajul imprimat, dublu strat, planul de implantare a componentelor electronice la scara 1:1, precum si formele de unda pentru un defazaj de $\pm 60^\circ$ Tn **figura 3**.

Bibliografie:

- Ardelean I. s.a. - Circuite integrate CMOS, Manual de utilizare, Editura Tehnica, Bucuresti, 1986;
- Ciugudean M. s.a. - Electronica aplicata cu circuite integrate analogice, Editura de Vest, Timisoara, 1991;
- Tatulescu Mircea - Instrumentatie si tehnici electrice de masurare, Reprografia Universitatii din Craiova, 1997.

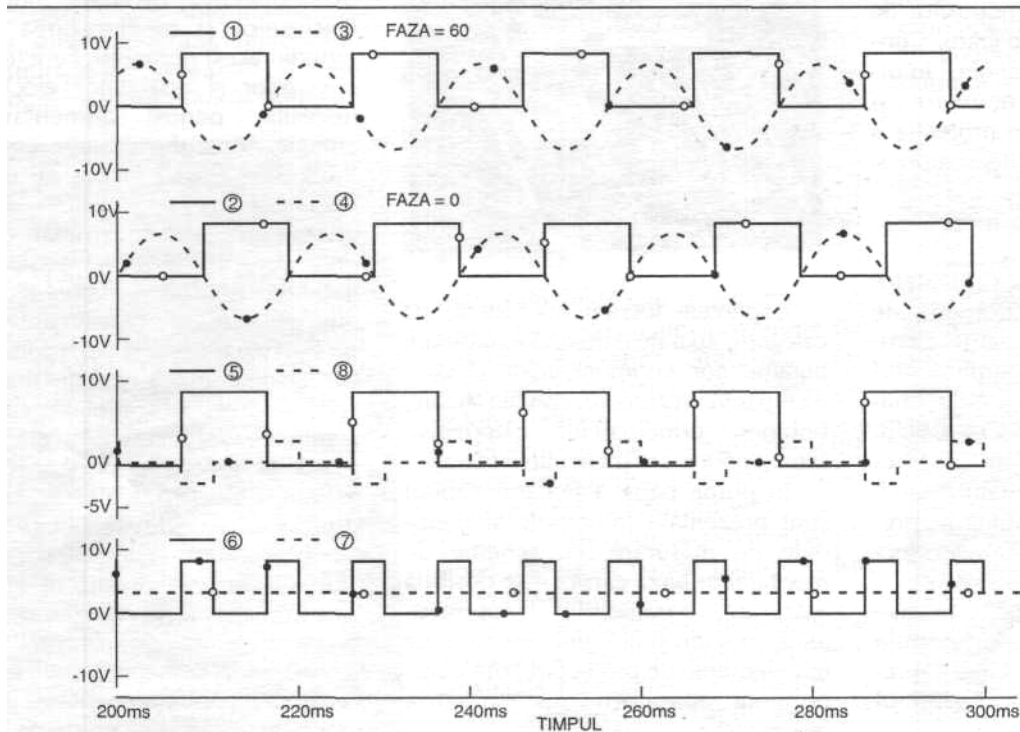


Figura 3

GENERATOR DE SEMNALE DREPTUNGHIULARE

Alexandru Zanca

Circuitul integrat MMC 4060 confine un oscilator care poate functiona și în configurație RC, urmat de o serie de divizoare.

Pornind de la cele de mai sus, în cele ce urmează, propunem o altă aplicație imediata a acestui circuit, și anume, un generator de semnale dreptunghihulare ce oferă un spectru foarte larg de frecvențe: 20.000 Hz la 0,04 Hz, cu aplicații largi în laboratorul radioamatorului (testări, reglaje, tehnica impulsurilor etc.).

Schema generatorului este arată în **figura 1**. Funcționarea generatorului este foarte simplă. Așa cum se cunoaște, frecvența de oscilație depinde de valoarea grupului R_1+R_2 (din care R_1 variabil; $C_1 < C_2, C_3$), frecvența maxima de oscilație fiind în jur de 300.000 Hz, din care, după divizarea cu 2^4 , se obțin 20.000 Hz. Gamele, brut se selectează cu ajutorul comutatorului K_1 subgamele din comutatorul K_2 , iar reglajul fin se obține cu ajutorul potențiometrului R_1 , ce poate fi, pentru un reglaj fin, dacă e cazul, un helipot. În acest mod, se obține o gamă foarte largă de frecvențe, cu fronturi foarte bune.

Cu toate că iesurile divizoarelor sunt prevăzute cu buffer, a fost prevăzut un repetor realizat cu tranzistorul T_1 , pentru a se putea obține curenti mai mari, necesari în unele aplicații.

Deoarece frecvența de oscilație depinde puțin de tensiunea de alimentare, aceasta se va face de la un alimentator bine stabilizat și filtrat, realizat cu ajutorul circuitului integrat de tip LM 7809, sau echivalent, cum este arătat în **figura 2**. Deoarece cablajul imprimat nu ridică probleme, nu a mai fost ilustrat. Se recomandă ca circuitul integrat C.I. 1 să fie montat în soclu.

Montajul se închide într-o cutie de metal, pe panoul frontal fiind scoase axele comutatoarelor K_1, K_2 și a potențiometrului R_1 , precum și bornele de ieșire.

Lista de piese

R_F	= 10 K. (helipot);	C_4	= 100 (μ F/12 V;
R_2	= 10 K;	C_5	= 1000 μ F/12 V;
R_3	= 200 K;	C_6	= 100 nF/multistrat ceramic;
R_4	= 100 ;	C_7	= 220 μ F/12 V;
R_F	= 2 K;	T_1	= BC107, BC108 etc;
R_6	= 500 ;	P_1	= 1 PM05 (punte);
C_1	= 140 pF stiroflex;	C.I.1	= MMC 4060;
C_2	= 2,2 nF multistrat;	C.I.2	= LM 7809.
C_3 =	35 nF multistrat;		

TEHNIMUM • Nr. 8/2000

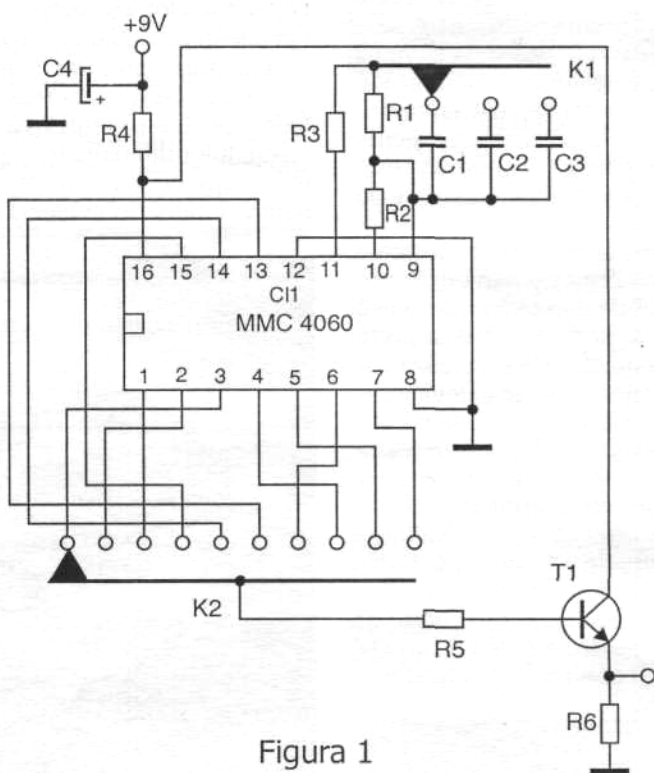


Figura 1

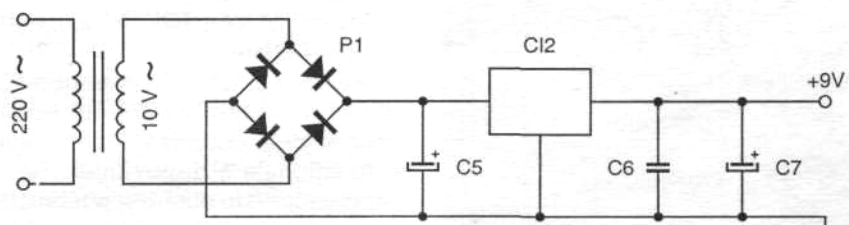


Figura 2

VOLTMETRU CU L.C.D. CU 4 1/2 DIGITI

ing. Serban Naicu

Dupa ce in nr. 7/1996 al revistei noastre am prezentat un modul universal de afisare cu cristale lichide cu 3 1/2 digits, in nr. 12/1997 un voltmetru cu 3 1/2 digits cu afisoare cu 7 segmente, care pot afisa pana la valoarea 2.000 (de fapt 1.999), iar in nr. 2/2000 un voltmetru digital cu 3 1/2 digits, realizat cu MMC 7107 (ICL7137) si afisoare cu 7 segmente,

Capsula cu configuratia pinilor si cu semnificatia acestora este prezentata in **figura 2a**, capsula de plastic cu 40 de pini (40 Lead Plastic DIP) si respectiv **figura 2b**, capsula de plastic cu 44 de pini (44 Lead Plastic Chip Carrier - Quad Pak). Cea de-a doua capsula este utilizata in montajele realizate in tehnologie de suprafata (SMT).

semnaleaza scaderea tensiunii de alimentare sub pragul prescris (LOW BATTERY).

Circuitul MAX7129 prezinta o precizie la cap de scala de 0,0005%, o rezolutie de 10 uV, o deriva de citire de 0,5 uV/°C si un curent maxim de intrare de 10 pA.

Firma Maxim a redus zgomotul circuitului integrat ICL7129A la 3uV, in mod semnificativ mai mic decat cel al circuitului MAX7129.

Ca o particularitate a montajului prezentat, mentionam ca referinta de tensiune (de 1,2 V) situata intre pinii 32-35 si 34 este constituita. In acest caz, de catre circuitul integrat ICL 8069. Potentiometrul P permite preluarea unei parti, mai mici sau mai mari, din aceasta tensiune de referinta, reusindu-se in acest mod reglarea pentru scala completa.

Cu ajutorul strapurilor A, B, C, D, si E se poate face selectarea scalei de masurare intre 200 mV si 2 V, la cap de scala, precum si pozitia corespunzatoare a punctului zecimal al afisorului.

In **tabelul** de mai jos este precizata pozitia acestor strapuri pentru cele doua scale.

200 mV	2V
--------	----

E-D	C-E
A-B	

Afisajul folosit este un model special conceput pentru convertorul A/D de tip ICL 7129, respectiv 4201 (Hamlin) sau VIM503 (Radiospares, BP453).

In **tabelul** de mai jos este data pozitia strapurilor pentru cele doua tipuri de afisoare mentionate.

4201-HAMLIN	VIM503
-------------	--------

3-6	
-----	--

	1-2
--	-----

	3-
--	----

	4
--	---

	5-6
--	-----

Facem precizarea ca modelul de LCD 4201-Hamlin are 20 de pini, in timp ce VIM-503 are 15 pini. daca se utilizeaza acest al doilea model de afisor, el se va plasa in partea dreapta a regletei cu 20 de pini prevazuta pentru primul model.

Trebuie observat ca, atunci cand se incepe plantarea componentelor pe cablaj, deoarece strapurile se situeaza sub circuitul integrat ICL7129, ele se vor monta primele.

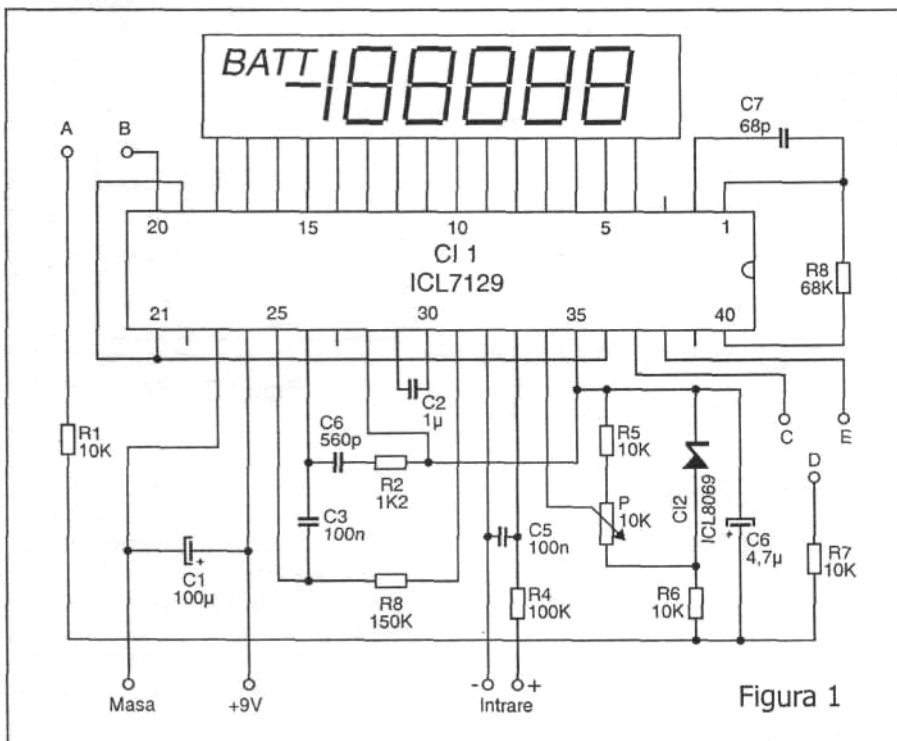


Figura 1

prezentam in acest material un voltmetru mai performant, care poate afisa pana la 20.000 (de fapt, 19.999), avand deci 4 1/2 cifre (digits).

Schema montajului este prezentata in **figura 1** si este realizata, in principal, cu circuitul integrat de tip ICL 7129, prevazut pentru 20.000 de puncte (similar cu circuitele mult mai cunoscute, de tip 7106 sau 7136, prevazute pentru 2.000 de puncte).

„Inima” montajului o constituie circuitul integrat de tip ICL7129 A (MAX7129), produs de célébra firma MAXIM, care este un convertor analog-digital (A/D) monolitic de precizie, care poate comanda direct un afisaj cu cristale lichide (LCD) multiplexat, cu scopul de a reduce numarul de conexiuni necesare.

Domeniul de temperatura in care aceste convertoare A/D functioneaza este cuprins intre 0°C si +70°C.

In functie de capsula in care se livreaza, exista mai multe variante constructive a acestor tipuri de circuite, dupa cum urmeaza: MAX7129CPL, ICL7129ACPL (40 Lead Plastic DIP), MAX7129CJL, ICL7129ACJL (40 Lead CERDIP), MAX7129CQH, ICL7129ACQ (44 Lead PLastic, Chip Carrier) si MAX7129C/D, ICL7129AC/D (Dice).

Acstei tipuri de convertoare A/D cu circuite de comanda pentru LCD-uri, ofera o rezolutie de afisare pana la valoarea ± 20.000 (de fapt, ± 19.999), pe ambele domenii de masurare, atat pe scala de 2 V, cat si pe cea de 20 mV.

De asemenea, circuitele integrate ICL7129/MAX7129 detecteaza si

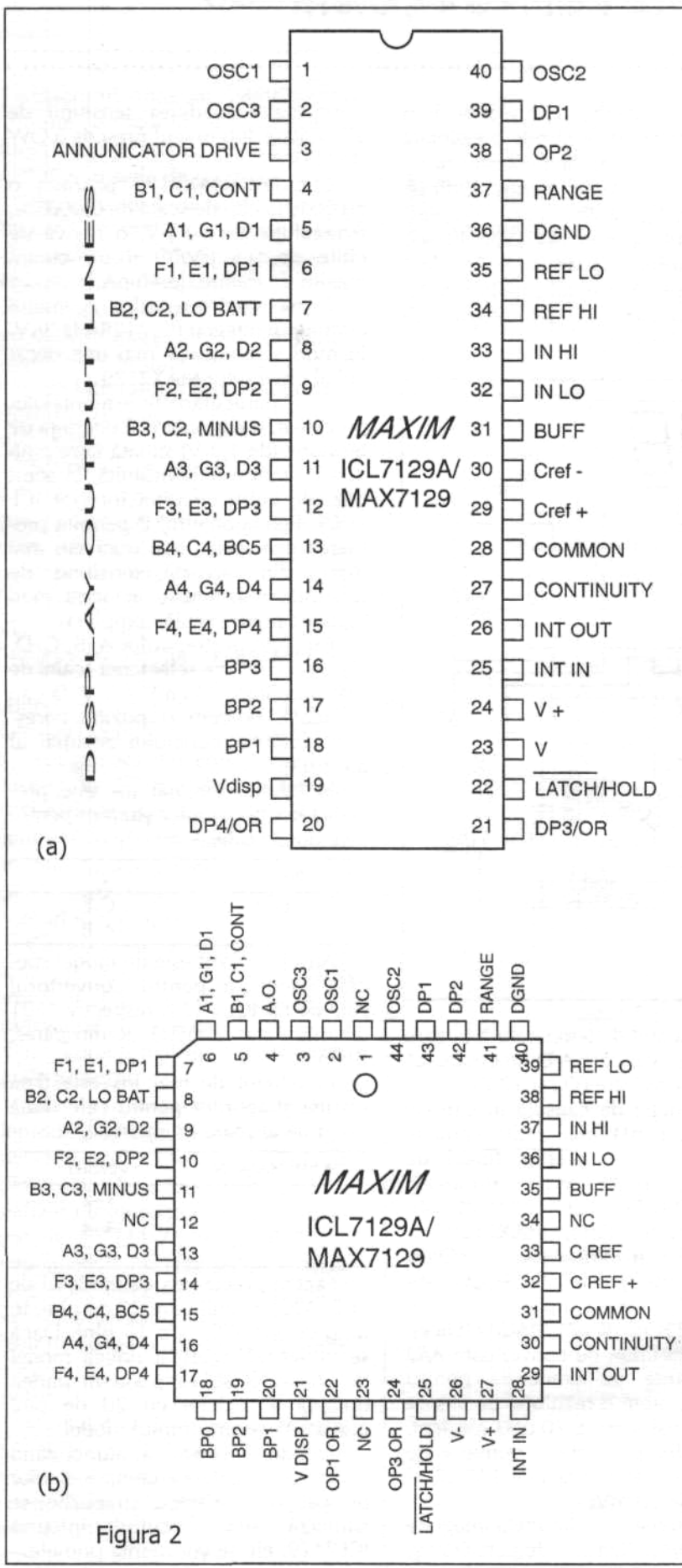


Figura 2

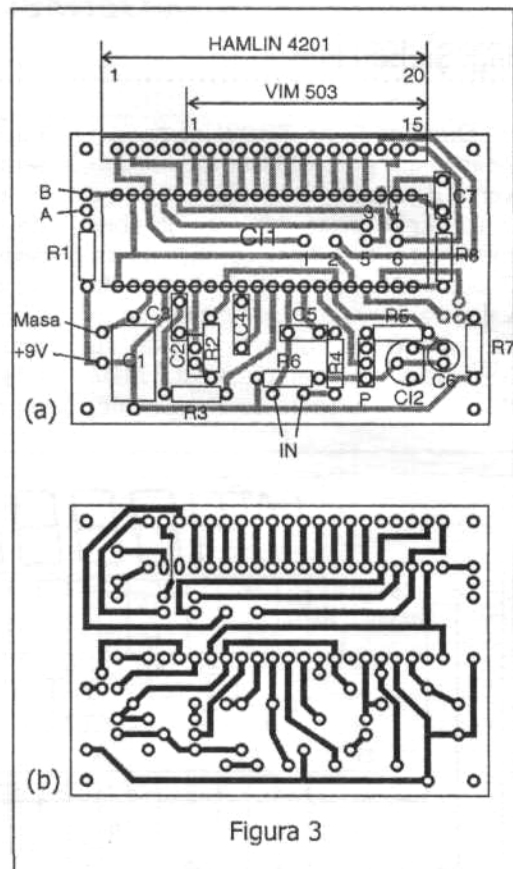


Figura 3

Montajul se alimenteaza de la o tensiune continua de 9 V, care poate fi furnizata de catre o baterie sau un acumulator, intre pinii 24 (V+) si 23 (CND) ai CI ICL7129A. Tensiunea de alimentare nu trebuie sa aiba nici un punct comun cu intrarile de masurare.

Cand tensiunea bateriei de 9V (a acumulatorului) scade sub o valoare minima neceara, pe afisor se va afisa acest lucru, prin aprinderea simbolului B sau LOW BATT, in functie de modelul de afisor utilizat.

In figura 3b este prezentat cablajul imprimat al montajului, iar in figura 3a schema de plantare a componentelor.

Nu este necesara efectuarea decat a unui singur reglaj, cel din P (potentiometru multiturn de 10 K), care se va efectua intr-o data din cele doua game de masurare, la alegere, prin comparare cu un voltmetru digital de referinta. Pentru un reglaj precis este nevoie ca acest voltmetru de referinta sa fie de o clasa de precizie mai ridicata decat cea pe care il reglam.

Bibliografie

1. Full-Line Data Catalog. MAXIM. Editia 1998, CD-ROM;
2. Le Haut-Parleur, nr. 1845, 15 februarie 1996.

RUPTOR ELECTRONIC

Florin Tebrencu

Ruptorul electronic reprezinta un element modern in ansamblul echipamentelor montate pe autoturisme.

Fata de sistemul ruptorului mecanic (cu contacte platinate), ruptorul electronic prezinta o serie de avantaje:

- elimina uzura mecanica a pieselor aflate in miscare (contactele platinate, camele axului ruptorului);
- elimina pericolul de oxidare a contactelor platinate;
- unghiul de avans (centrifugal si vacumatic) se poate regla foarte precis pentru toti cilindrii, determinand un mers mai „rotund” al motorului;
- lucreaza foarte bine si la tensiuni mici ale bateriei, prezantand o fiabilitate foarte ridicata datorita numarului mic de piese electronice, piese care lucreaza mult sub parametrii maximi de utilizare;
- la turatii mari ale motorului (peste 3000 rot.) nu mai apar rateuri datorate fenomenului de „zbor al platinel”;
- elimina sursele de paraziti;
- asigura porniri foarte usoare, indiferent de anotimp;

- nu necesita intretinere;
- reduce consumul de combustibil.

Sistemul propus in continuare inlocuieste ruptorul mecanic cu platine, cu un ruptor electronic cu senzor magnetic.

Schema electrica este prezentata in **figura 1b**. Senzorul magnetic folosit este de tip SM 230, produs de I.P.R.S. Baneasa.

Acesta contine un traductor magnetic (bazat pe efectul HALL) care, la o anumita intensitate a campului magnetic, comanda bascularea iesirii. In **figura 1a** este prezentata configuratia si destinatia terminalelor senzorului SM 230. Prezentam si cateva caracteristici mai importante ale acestui senzor:

- Tensiunea de alimentare de 4,5 V... 25 V;
- Sensibilitatea magnetica independent de tensiunea de alimentare;
- Sensibilitatea magnetica: 10 mT ... 50 mT.

Daca prin fata senzorului magnetic trece un magnet cu o anumita intensitate a campului, senzorul trans-

mite circuitului electric comanda de declansare a scanteii la bujii.

Contactul dintre platile este simutat de tranzistorul BD 139. Rezistentele R3 si R4 asigura curentul de comanda a tranzistorului BD 139. In **figura 2a** este prezentat desenul cablajului imprimat la scara 1:1, iar in **figura 2b** se prezinta amplasarea pieselor pe cablaj.

Constructia sistemului este conceputa in asa fel incat adaptarea ca corpul distributiorului sa se faca fara modificarea acestuia. In **figura 3** este prezentat acest ansamblu montat pe corpul unui distributior (poz. 1) tip 3230-12 V care, echipeaza autoturismele DACIA 1300 si 1310, ansamblu compus din urmatoarele piese:

- PIESA SUPORT (poz. 2) pe care sunt fixati cei patru magneti.

Se executa din stratitex bara (textolit) la dimensiunile prezentate in **figura 6**. Aceasta piesa se fixeaza de rotorul distributior (lulea);

- PIULITE (poz. 4), doua la numar, pentru fixarea INELULUI (5) de CORPUL DISTRIBUITORULUI (1). Forma si dimensiunile sunt prezentate in **figura 9**. Se executa din stratitex (textolit);

- INELUL SUPORT (poz. 5) se monteaza in locul platoului cu platine. Forma si dimensiunile acestui inel sunt prezentate in **figura 4**. Se executa din bara de stratitex (textolit). Alte detalii de executie sunt date in capitolul REALIZAREA PRACTICA;

- PIESA LIMITATOARE (poz. 6) are rolul de a limita deplasarea circuitului imprimat la actionarea avansului vacumatic. Forma si dimensiunile sunt prezentate in **figura 8**. Se executa din stratitex (textolit). Detalii de executie, in capitolul REALIZAREA PRACTICA;

- BOLTUL (poz. 7) este elementul de legatura dintre sistemul de actionare al capsulei vacumatrice si PLACA CIRCUITULUI IMPRIMAT (poz. 8), pe care sunt montate toate piesele electronice. Desenul cu dimensiunile sunt prezentate in **figura 5**. Se executa din bară de alama sau OL;

- PLACA CU CIRCUITUL IMPRIMAT (poz. 8) are grosimea de 2 mm si are forma si dimensiunile din **figura 10**.

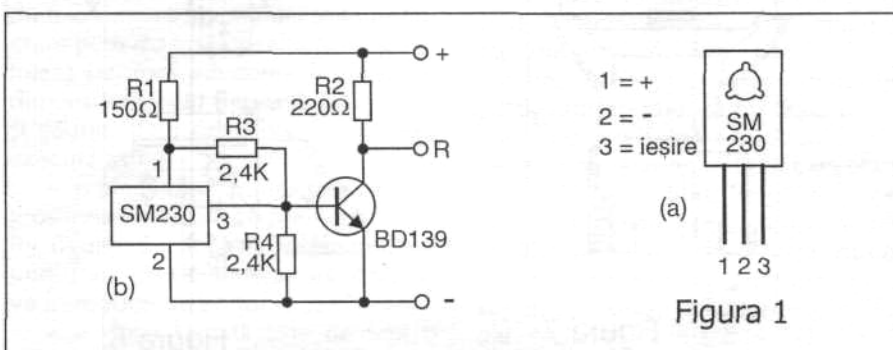


Figura 1

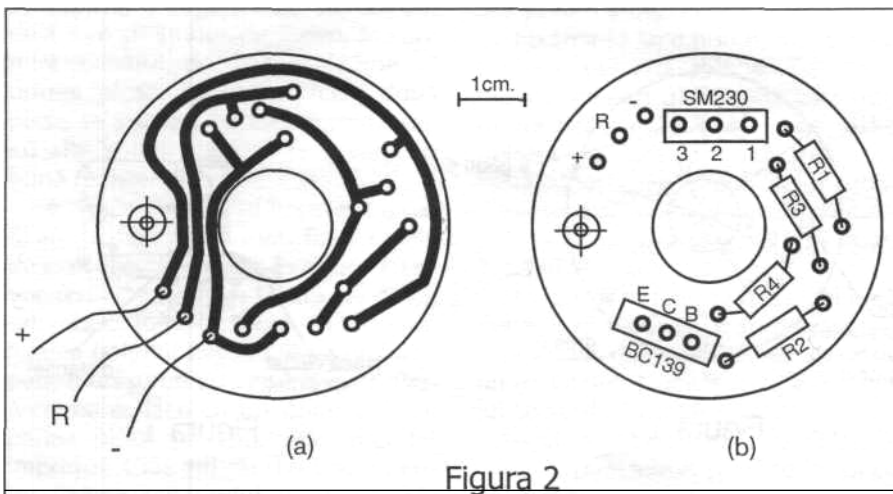


Figura 2

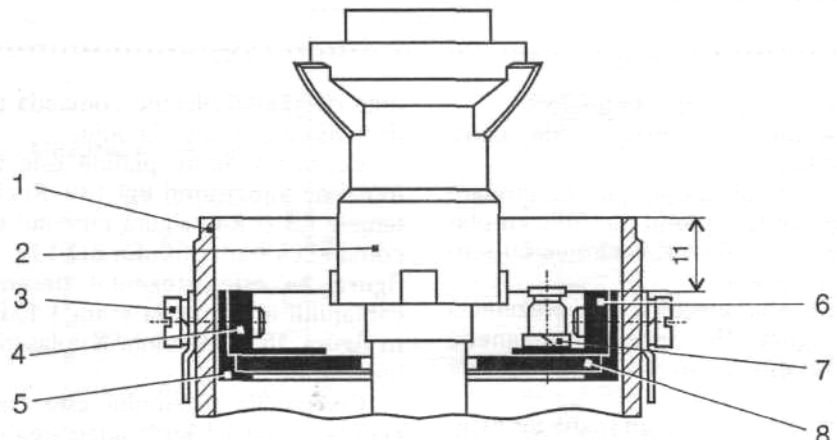


Figura 3

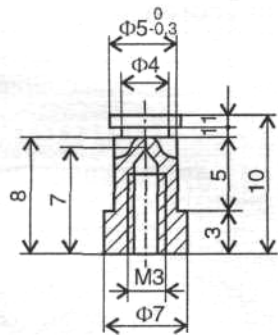


Figura 5
(scara 2:1)

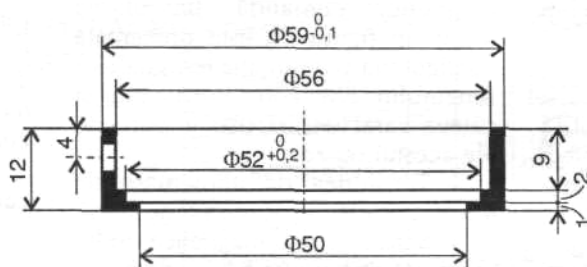


Figura 4

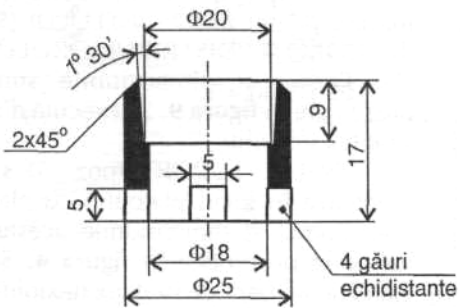


Figura 6

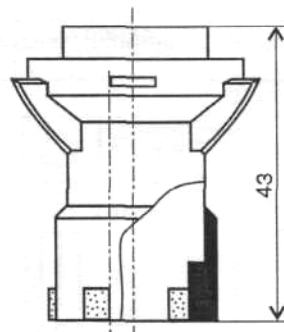


Figura 7

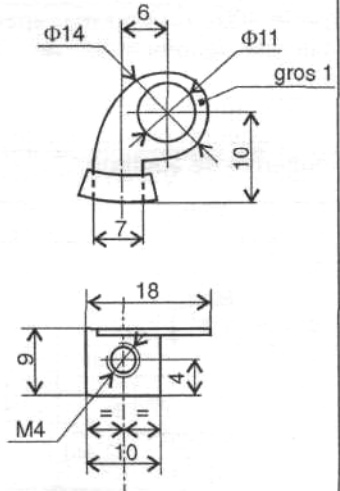


Figura 8

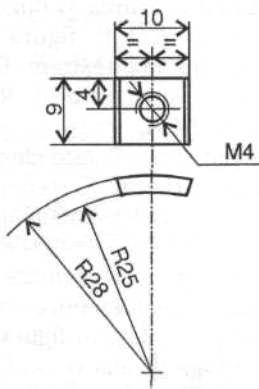


Figura 9

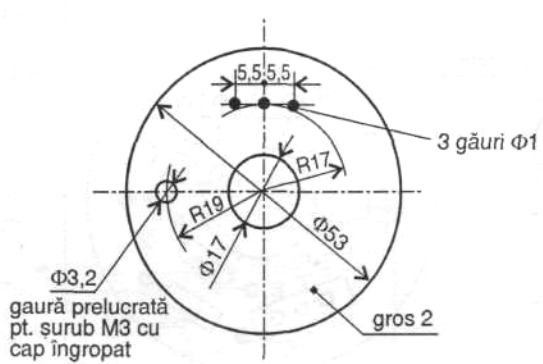


Figura 10

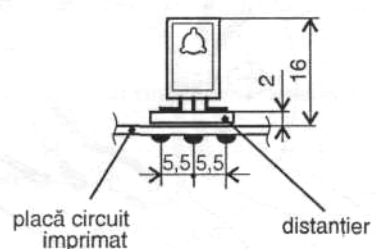


Figura 11

REALIZAREA PRACTICA

- Montarea inelului suport (poz. 5) se face asa cum este indicat in **figura 3**, adica la 11 mm de .marginea superioara a delcoului. Pentru fixarea de corpul delcoului, pe inel se practica trei gauri de 4,2 care vor corespunde cu gaurile din corpul delcoului. Pentru aceasta se procedeaza in felul urmator:

De la un delcou se demonteaza platoul cu platine, fixat cu trei suruburi M4, ansamblul vacumatic si condensatorul. Se marcheaza pe inelul (5), circular, distanta de 4 mm. Se introduce inelul in corpul delcoului (1) la distanta de 11 mm de marginea superioara. Marcajul de pe inel trebuie sa corespunda cu linia axei gaurilor de pe corpul delcoului. Stabilind aceste elemente marcam corespondenta celor trei gauri pe inel din textolit. Acum marcam pe inel si gaura prin care a trecut firul platinei. Prin aceasta gaura vom scoate cele trei fire de la circuitul imprimat. Tot astfel marcam gaura prin care trece tija de la avansul vacumatic. Se scoate inelul din corpul delcoului si se executa gaurile marcate.

- Piesa limitatoare (poz. 6) se poate executa dintr-o singura bucată sau din două bucăți. Piesa executată dintr-o singura bucată necesită prelucrare pe o masina unealta (strung sau freza) iar apoi aducerea la forma si dimensiunile din **figura 8**, prin pilire si gaurire. Din două bucăți piesa se executa astfel:

- o placă din stratitex (textolit) cu grosimea de 1 mm se prelucraza ca in **figura 8**, aceasta reprezentand portiunea piesei limitatoare care se va introduce pe boltul (poz. 7).

- a două bucată este de fapt o piulita (poz. 4). Pe latura de 10 mm se executa o degajare cu adancimea de 1 mm si latimea de 7 mm, in care intra capatul de 7 mm latime al primei piese. La montaj cele două piese se vor lipi cu electropasta sau cu alte solutii care sa le confere o buna rezistenta.

• Placa circuitului imprimat (poz. 8) are grosimea de 2 mm. Toate cotele de executie prezentate in **figura 10** se vor respecta riguros. Gaura de 3,2 prin care trece surubul M3 pentru fixarea boltului (rep. 7) se va prelucra pentru un surub cu cap ingropat. Prelucrarea se face cu un spiral 5, pe partea placii pe care este circuitul imprimat. Cele trei gauri 1 sunt pentru fixarea senzorului magnetic. Ele

vor fi amplasate tangent pe raza de 17 mm la 5,5 mm una fata de alta. Poziionarea acestor gauri este importanta, prin centrul gaurii din mijloc trebuie sa treaca axa razei de 17 mm. Diametrul placii de 53 mm va fi corelat cu diametrul de 53 + 0,02 mm de la inelul suport (poz. 5). In acest locas va oscila placa cu circuitul imprimat. Senzorul magnetic se va monta pe circuitul imprimat prin intermediul unui distantier din material plastic cu grosimea de 2 mm. Distanța de la placa pana la partea superioara a senzorului nu trebuie sa fie mai mare de 16 mm (vezi **figura 11**). Senzorul magnetic se monteaza cu radiatorul (placuta de pe spatele circuitului) spre axul delcoului. Dupa fixarea boltului pe placa, cu surubul M3, capul acestuia se va sigla cu vopsea sau lac de unghii.

• Dupa executia piesei suport (poz. 6), la strung, se vor executa cele patru gauri in care se monteaza magnetii. Cele patru gauri vor fi echidistante. Amplasarea lor trebuie sa fie foarte precisa ($4 \times 90^\circ \pm 0,1$) este recomandata executia lor pe o freza cu cap divisor. Gaurile vor avea dimensiunea de $5 \times 5 \times 4$.

Magnetii folositi au aceleasi dimensiuni, $5 \times 5 \times 4$, deoarece trebuie sa intre in locas prin presare. Nu se recomanda folosirea unor magneti cu dimensiuni mai mari. Poziionarea lor in gauri se face in asa fel incat, prin presare, sa nu depaseasca marginea interioara a suportului. Cu foarte mare atentie trebuie executata lipirea lor de suport. Se poate folosi electropasta sau alte solutii care pot asigura o rigidizare foarte buna. Dupa montarea magnetilor piesa suport se fixeaza de rotor-distribitor dar, NUMAI IN POZITIA INDICATA in **figura 7** (se va respecta cu strictete axa pentru aliniere).

Fixarea se face prin lipire cu electropasta sau alta solutie. Este recomandat ca partea rotorului care intra in aceasta piesa sa se strieze, astfel lipitura va face o priza mult mai buna. Dupa montajul celor două piese se verifica inaltimea totala care, trebuie sa fie cea precizata in **figura 7**, adica 43 mm.

Magnetii se fixeaza in asa fel incat polul N sa fie orientat spre exteriorul suportului, catre radiatorul senzorului magnetic. Dupa executie, montajul se verifica astfel:

- alimentam circuitul cu 12 V c.c.;
- in punctele R si (-) se leaga un voltmetru;

- rotim axul delcoului pana cand unul din magneti ajunge in dreptul radiatorului senzorului magnetic;

- in acest moment tranzistorul primeste comanda; instrumentul indicand 12 V. Indepartand magnetul de senzor, tensiunea trebuie sa revina la 0 (de fapt 0,2 V);

- distanta dintre magnet si senzor trebuie sa fie de cca. 1,5 mm.

MONTAREA PIESELOR

Pentru montarea pieselor pe delcou, procedam in felul urmator:

- se scoate capacul distribuitului;

- se demonteaza piulitele care fixeaza conductorul de la platine;

- se scoate rotorul si aparatoarea din plastic;

- se scoate platoul cu platine, condensatorul si capsula vacumatica dar, inainte se va marca pozitia piesei dintate fata de piesa de sprijin de pe axul capsulei vacumatici;

- se introduce inelul suport (5) in corpul delcoului;

- se aseaza, in locasul inelului, placa cu circuitul imprimat (8) pe care au fost montate toate piesele electronice si boltul (7);

- se aseaza piesa limitatoare (6) pe boltul (7);

- se monteaza capsula vacumatica cu suruburile M4 si piulitele (4);

- odata cu suruburile M4 se fixeaza si clemele elastice de prindere a capacului delcoului;

- in locul condensatorului se vor monta două cleme la care se scot cele trei fire de la circuitul imprimat; +, - si R.

- la surubul de fixare a clemelor de corpul delcoului se va lega si firul „-“ de pe circuitul imprimat;

- gaura de iesire a celor trei fire se va proteja cu un manson izolator;

- se fixeaza axul capsulei vacumatici impreuna cu piesa dintata pe boltul (7);

- se aseaza aparatoarea din plastic, dupa ce, in prealabil, se maresteste gaura centrala la 30;

- se fixeaza pe axul delcoului rotorul distribitor, nou echipat (2);

- se fixeaza capacul distribuitului.

Dupa echipare si montare, delcou se fixeaza in locasul lui. Se fac legaturile cu aprinderea electronica, dupa care se trece la reglarea avansului. Reglajul poate fi static, cu ajutorul unui bec sau voltmetru, sau dinamic, cu un stroboscop.

TERMOSTAT CU REGLAREA CONTINUA A PUTERII DE INCALZIRE

Fiz. Dan Covaci

1. INTRODUCERE

In principiu, termostatarea unei incinte se face prin determinarea unui „semnal de eroare” (un curent sau o tensiune ce exprima diferența dintre temperatura reală și cea programată) care se aplică unui element de reglaj ce comandă puterea prin rezistența de incalzire.

In funcție de tipul elementului de reglaj, se poate realiza:

- comutarea de tip „Pornit/Oprit” a întregii puteri de alimentare;
- comutarea în trepte, pentru un reglaj mai precis al temperaturii;
- reglarea continuă a puterii de incalzire, proporțional cu valoarea semnalului de eroare.

Aceasta a treia metodă oferă cea mai bună stabilitate a temperaturii, mai ales dacă e vorba de o incintă de volum mic (inertie mică) sau cu o izolație termică nesatisfăcătoare.

Regulatorul de temperatură prezentat în acest articol folosește tocmai această metodă de reglare continuă și este utilizat la alimentarea unei incinte termostatate cu volum foarte mic (18 cm^3), anexă a unui spectrofotometru.

Pentru ajustarea puterii de alimentare se folosește controlul în faza de aprindere a unui tiristor, inseriat cu rezistența de sarcină. În general, dacă se calculează dependența puterii disipate în sarcină pe o semiperioadă, de unghiul de aprindere al tiristorului, rezulta:

$$\begin{aligned} P &= \frac{\sin^2(\omega t)}{R_s} dt = \\ &= \frac{U_0^2}{R_s} \frac{1}{2\pi} \left(\pi - \varphi_0 + \frac{1}{2} \sin 2\varphi_0 \right) \\ &\quad U_0 T/2 \\ &\quad 0 \end{aligned}$$

unde:

- U_0 = amplitudinea tensiunii de alimentare;
- R_s = rezistența de sarcină;
- φ_0 = unghiul de aprindere al tiristorului, ($\varphi_0 = \alpha - t_0$).

Prin trasarea graficului dependenței puterii de unghiul de aprindere (φ), se obține o dependență liniară (figura 1). Circuitele integrate specializate în controlul proporțional al temperaturii realizează o reglare liniară a unghiului de

aprindere al tiristorului, în funcție de tensiunea de eroare: puterea de incalzire scade pe măsură ce temperatura incintei se apropiă de temperatura programată și aceasta scadere este liniară.

generat de sursa de curent constant compensate în temperatură, alcătuită din T_1, T_2, R_1, R_2 . Caderea de tensiune directă pe dioda variaza în funcție de temperatura cu aprox. $-2 \text{ mV}/^\circ\text{C}$. Amplificatorul diferențial

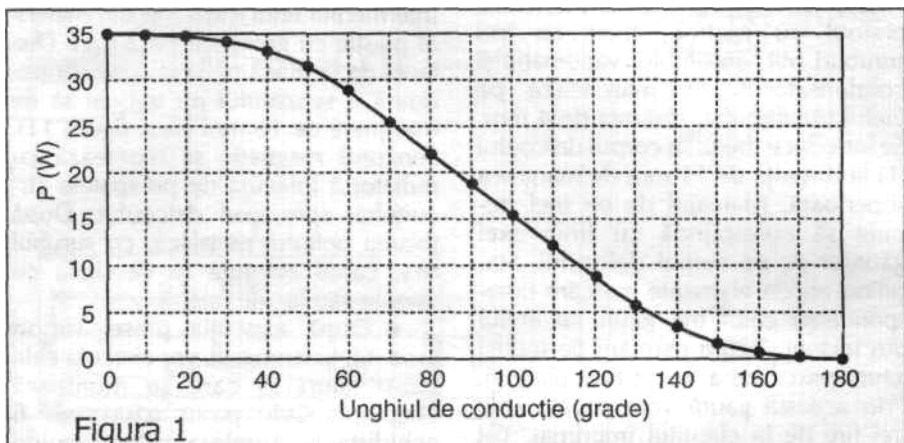


Figura 1

Varianta de montaj prezentată în acest articol nu se bazează pe utilizarea unui asemenea circuit specializat. Sacrificând liniaritatea dependenței unghi de aprindere - semnal de eroare, este totuși posibilă o reglare continuă a puterii prin sarcină, astfel încât să se realizeze o termostatare aproape la fel de precisă, folosind un circuit integrat LM 324.

Principalele caracteristici ale montajului realizat sunt:

- gama temperaturilor de funcționare: $t_{amb} -15 \text{ }^\circ\text{C} - 70 \text{ }^\circ\text{C}$;
- afisare temperatură: digital, 3 1/2 digits;
- eroare de indicare: $\pm 0,1 \text{ }^\circ\text{C}$;
- eroare de stabilitate față de temperatură prescrisă: $\pm 0,2 \text{ }^\circ\text{C}$;
- alimentare regulator: $+/- 5 \text{ V}$, 120 mA ;
- alimentare pentru partea de forță: $35 \text{ Vc.a.}/1,5 \text{ A}$.

Afisarea temperaturii se realizează cu ajutorul unui panelmetru (voltmetru digital) a cărui schema nu este prezentată în articolul de față. Se poate folosi orice asemenea kit care are alimentarea la $+/- 5 \text{ V}$ și gama tensiunilor de intrare $0-200 \text{ mV}$.

2. SCHEMA ELECTRICA

Schema electrică a montajului este data în figura 2.

Senzorul de temperatură este o diodă semi-conductoare tip 1N4148 (D1) polarizată cu un curent constant

realizat cu amplificatorul nr. 1 din capsula lui LM324 amplifică de R_9/R_7 ori diferența dintre tensiunea directă pe diodă și o tensiune de referință data de divizorul de tensiune R_3, R_4, R_5 (egala cu tensiunea pe care o da senzorul de temperatură la $0 \text{ }^\circ\text{C}$). Tensiunea de pe pinul 1 al circuitului integrat rezultă astfel cu o pantă de aprox. $20 \text{ mV}/^\circ\text{C}$.

Aceasta tensiune, după trecerea prin comutatorul fară retenere K (care în stare de repaus este în poziția 1) este divizată în divizorul de precizie R_{13}, R_{14}, R_{15} până la o pantă de $1 \text{ mV}/^\circ\text{C}$ și apoi măsurată cu voltmetrul digital. Citirea se realizează direct în $^\circ\text{C}$.

Drept programator de temperatură se folosește ansamblul format din Potentiometrul multitura (tip helipot) R_{11} și rezistențele R_{10}, R_{12} împreună cu repetorul de tensiune realizat cu al doilea operational din capsula circuitului integrat. Valorile rezistențelor R_{10} și R_{12} au fost astfel alese încât, cu Potentiometrul pe poziția 0, tensiunea programată (pinul 7) să fie egală cu tensiunea măsurată (pinul 1) la $0 \text{ }^\circ\text{C}$, iar cu Potentiometrul pe poziția 150, tensiunea programată să fie egală cu tensiunea măsurată la $150 \text{ }^\circ\text{C}$.

Prin trecerea comutatorului K pe poziția 2, tensiunea programată poate fi și ea divizată prin același divizor de precizie și introdusă pe

intrarea voltmetrului digital, unde poate fi citita direct ca temperatura programata.

Cele doua tensiunii cea masurata si cea programata intra in amplificatorul diferential alcătuit cu R16, R17, R18, R19 in jurul celui de-al treilea operational din capsula. La iesirea acestuia (pinul 8) rezulta semnalul de eroare care va fi folosit pentru

este redresata (fara filtrare!) si se aplica rezistentei de sarcina, colectorului tranzistorului pilot T4 si divizorului de tensiune R23, R24. Prin intermediul rezistentei R20 se aplica astfel in baza tranzistorului T3 un semnal sincron cu tensiunea de alimentare a rezistentei de sarcina R_s (diagrama a. din figura 3).

Acest proces se repeta identic pentru fiecare semialternanta, rezultand la iesirea comparatorului un tren de impulsuri dreptunghiulare (diagrama c. din figura 3) a caror durata depinde de tensiunea de eroare. Prin trecerea acestor impulsuri prin un circuit de derivare format din C3, R25 si D2, in baza tranzistorului T4 (punctul W)

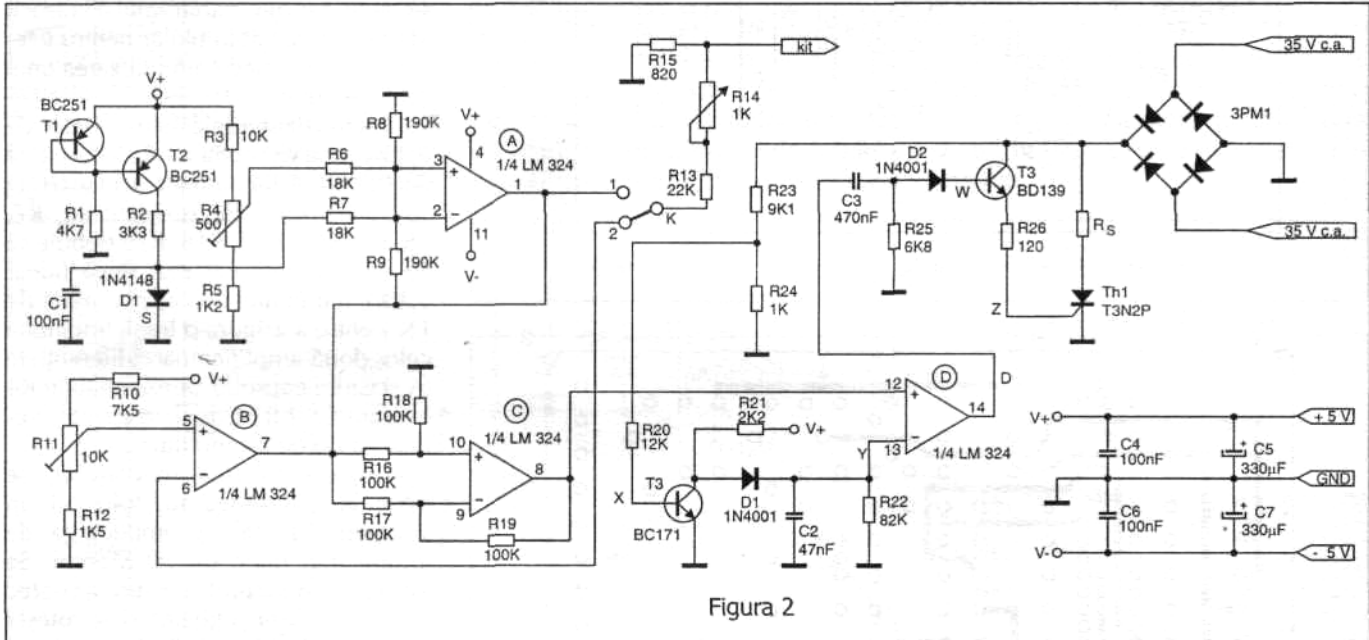


Figura 2

comanda in faza a aprinderii tiristorului Th 1. Tensiunea de eroare ia valori intre 0 (0°C) si 3.000 mV (150°C) si este introdusa pe intrarea neinversoare a comparatorului realizat cu al patrulea operational al lui LM 324.

Tensiunea de alimentare a partii de putere a montajului (48 V ca.)

La fiecare inceput de semialternanta, cat timp tensiunea in punctul X este mai mica decat 0,6 V, tranzistorul T3 este blocat iar condensatorul C2 se incarca rapid la (V_+)-0,6 V prin R21 si D1. Cand tensiunea in baza lui T3 depaseste 0,6 V, tranzistorul se deschide, procesul de incarcare al condensatorului C2 este blocat, iar acesta se descarcă exponential prin rezistorul R22. Tensiunea din punctul Y (diagrama b. din figura 3) se aplică pe intrarea inversoare a comparatorului. Aceasta tensiune este comparată cu tensiunea de eroare care sosete pe intrarea neinversoare. Cand tensiunea in punctul Y devine mai mica decat tensiunea de eroare, comparatorul basculeaza din V_- in V_+ (Valorile reale sunt, de fapt, ceva mai mici).

Odata cu scaderea tensiunii in baza lui T3 din nou sub 0,6 V (spre sfarsitul semialternantei, condensatorul C2 este total descarcat) se amorseaza din nou incarcarea rapida a lui C2, ceea ce duce la urcarea brusca a lui u peste valoarea tensiunii de eroare, adica la bascularea inversa a comparatorului, din V_+ in V_- .

Obinem un tren de impulsuri ascutite (diagrama d. din figura 3), sincrone cu tensiunea de alimentare (redresata bialternanta si nefiltrata). Momentul t, de start al fiecarui impuls depinde de valoarea tensiunii de eroare, ceea ce are drept consecinta amorsarea tiristorului Th 1 la momente de timp bine stabilite pentru fiecare semialternanta. In parte, dependente de aceasta tensiune de eroare (diagrama e. din figura 3). Stingerea tiristorului se face la sfarsitul fiecariei semialternante prin caderea tensiunii de alimentare (stingere naturala), din acest motiv fiind interzisa filtrarea tensiunii de 35 V dupa redresare.

Se realizeaza, in acest fel, comanda in faza a aprinderii tiristorului; pe masura ce temperatura in incinta creste spre valoarea programata, tensiunea de eroare scade si creste intarzirea aprinderii tiristorului, obtinandu-se reducerea puterii aplicate sarcinii. La echilibru, cand temperatura efectueaza mici oscilatii in jurul valorii prestabilite, tiristorul se va deschide doar atat cat este necesar pentru a compensa pierderile de caldura ale incintei.

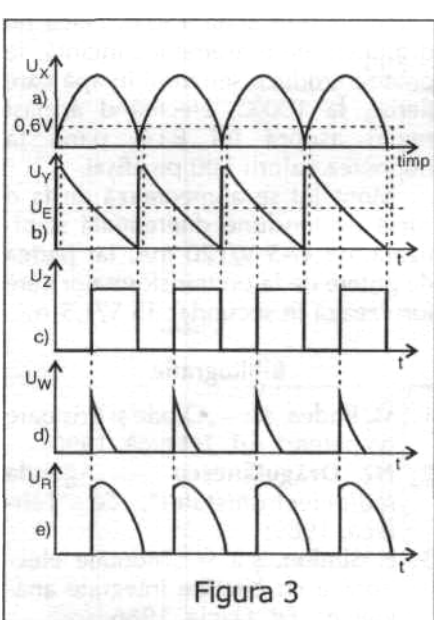


Figura 3

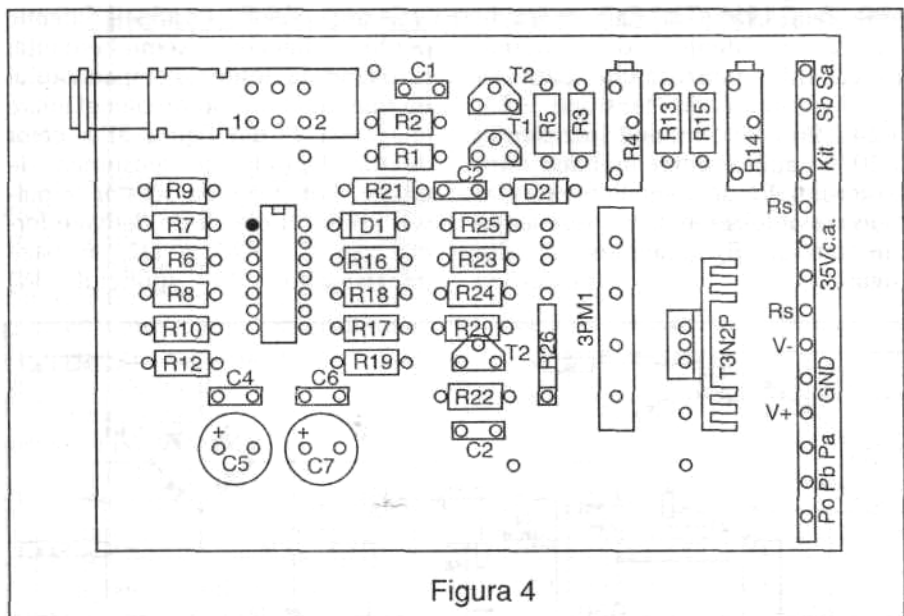


Figura 4

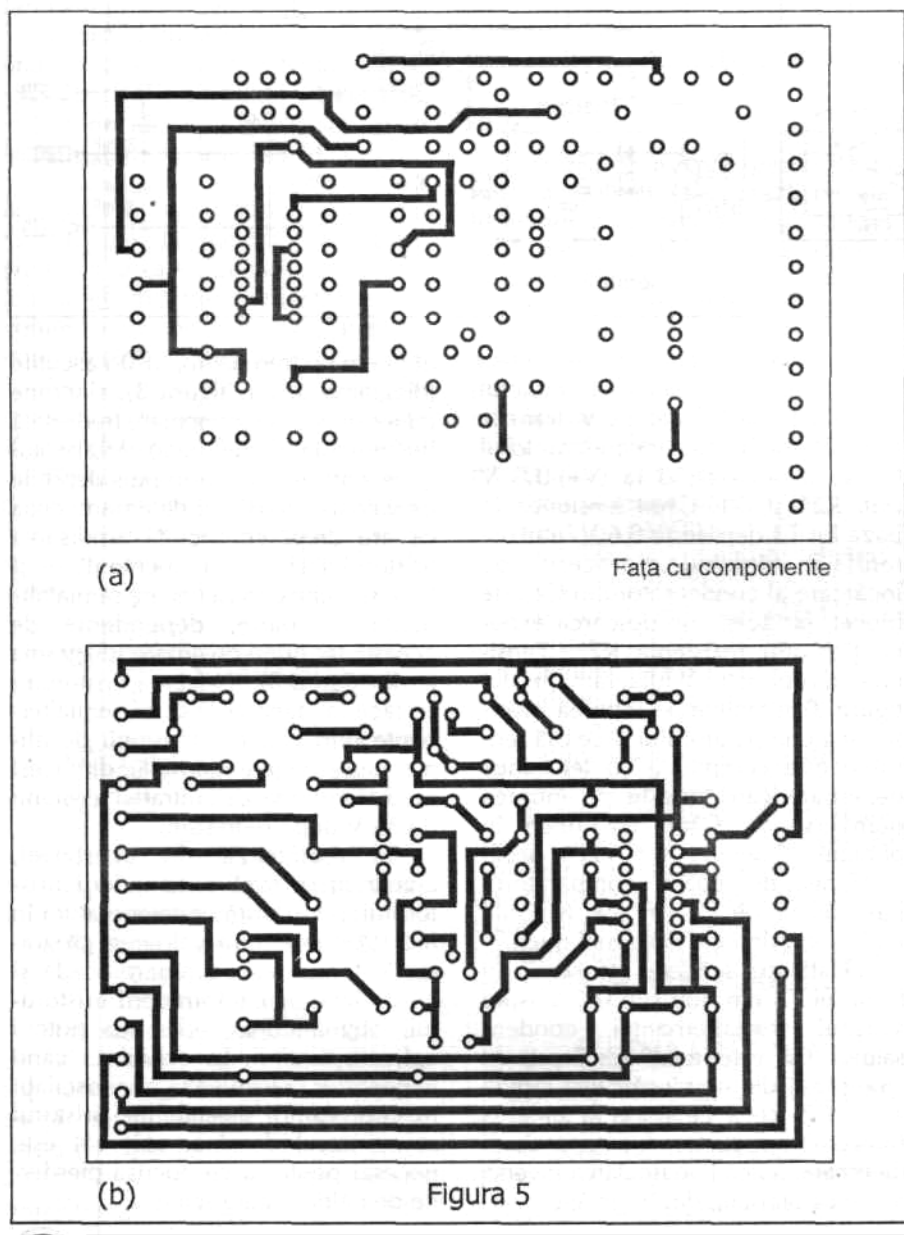


Figura 5

3. REALIZARE PRACTICA SI REGLAJE

Montajul se realizeaza pe o placuta de sticlotextolit dublu placat cu dimensiunile de 108 x 78 mm. Schema de plantare a componentelor precum si schemele de cablaj pentru cele doua fete sunt prezentate in **figura 4** respectiv **figurile 5.a si 5.b.**

Legatura dintre senzorul de temperatura (dioda 1N4148) si regulator se face cu un cablu bifilar rasucit (de exemplu, cablu bifilar pentru telefonie), nefiind necesara utilizarea unui cablu ecranat.

Toate rezistentele folosite sunt de 0,25 W, cu exceptia lui R₂₆ care este de 0,5 W si bineintelas a rezistentei de incalzire R_s. Rezistentele R₆, R₇, R₈, R₉, R₁₆, R₁₇, R₁₈, R₁₉ trebuie sa fie cu toleranta cat mai mica (ideal 0,1%), dar in nici un caz mai mare de 1% pentru a asigura o buna liniaritate celor doua amplificatoare diferențiale

(A si C din capsula). Semireglabilii R₄ (reglare 0) si R₁₄ (reglare panta), trebuie sa fie de tip multitura.

Dupa realizarea montajului, se trece la etalonarea sa, folosind un voltmetriu digital cu impedanta de intrare mai mare de 10 Mohm. Se introduce senzorul intr-un amestec de apa distilata si gheata si se roteste semireglabilul R₄ pana cand cursorul acestuia ajunge la acelasi potential cu anodul diodei-senzor. In acest fel, se obtine reglajul punctului de 0°C. Pentru ajustarea pantei termoregulatorului, daca se dispune de o incinta termostata cu reglaj al temperaturii, se introduce senzorul in aceasta, se ridica temperatura incintei la 150°C si se regleaza R₁₄ pana cand afisajul panelmetrului arata 150.0. Daca nu disponem de o asemenea incinta, se poate introduce senzorul in apa care fierbe, la 100°C, efectuand acelasi reglaj asupra lui R₁₄, pana la obtinerea valorii 100 pe afisaj.

Montajul se alimenteaza de la o sursa de tensiune diferențiala stabilizata, de +/-5 V/120 mA, iar partea de putere de la un transformator care furnizeaza in secundar 35 V/1,5 A.

Bibliografie

- M. Bodea**, s.a - „Diode si tiristoare de putere”, Ed. Tehnica', 1990;
- N. Dragulanescu** - „Agenda radioelectronistului”, Ed. Tehnica, 1989;
- E. Simion**, s.a. - „Montaje electronice cu circuite integrate analogice”, Ed. Dacia, 1986.

SUPRAVEGHETOR DE FLACARA

Traian Masa

Pentru controlul flacarilor sunt necesare circuite care să sesizeze prezența acestora. Circuitul propus în figura 1 l-am realizat cu ajutorul unui circuit operational BA 741. Ca element sensibil se utilizează un electrod păsat în flamă care funcționează ca redresor și se bazează pe ionizarea flăcării. Pentru aceasta se plasează 2 electrozi în flăcăra alimentată la tensiune alternativă, după care se obține tensiune continuă de comandă a circuitului

operational. Un electrod este corpul arzătorului, iar celalalt este din sarma de kantal de 3-4 mm cufundat în flăcăra. Unele flăcări dă curenti mai mari (~ 10 mA) cele putemice, altele mai mici 0,5-1 A pentru că montajul să funcționeze se activează asupra reacției C.I. -R₈ sau se înlocuiește cu un potențiometru semireglabil de 1MW. Acest curent încearcă condensatorul C1 cu o tensiune suficient de mare pentru a comanda intrarea neinvărsată a C.I. și T1 care

activează asupra releului d₁ la 12 Vcc semnalizând cu dioda LED sau un traductor la 220V~. În primar, în secundar 2 x 12 V-. Se poate folosi bobina în alta variantă (figura 2) cu un alt secundar care să debiteze 220-250V~. Faza tensiunii retelei se leagă la borna notată cu „a”. Secundarul suplimentar de 220 Vcc se poate folosi cu sarma sub 0,1 mm. Se realizează montajul din figura 2 b, în cazul secundarului suplimentar.

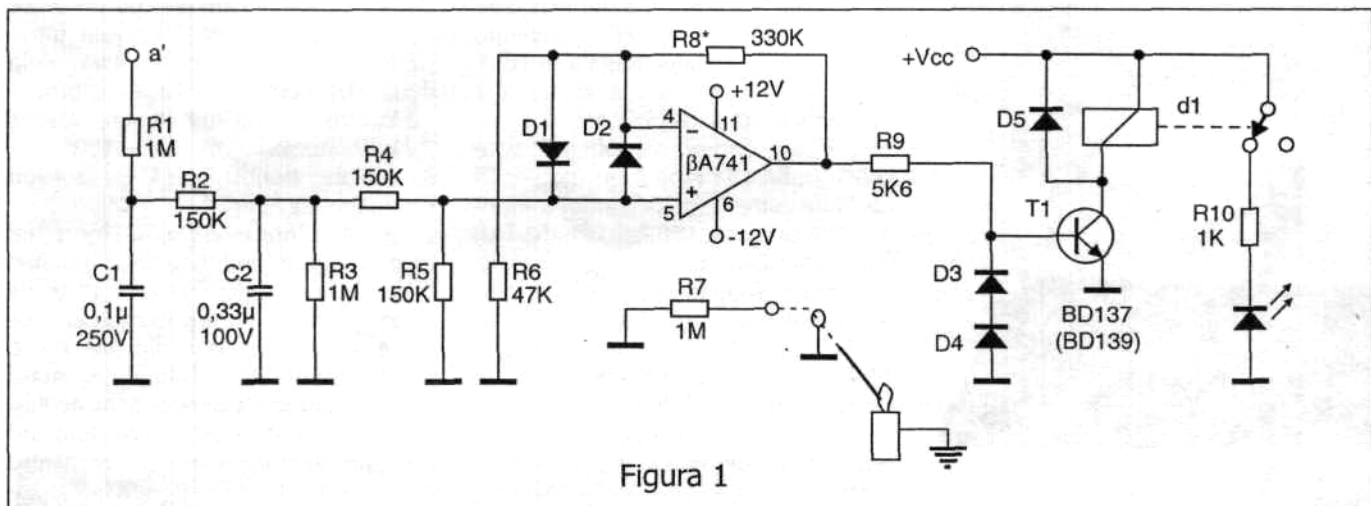


Figura 1

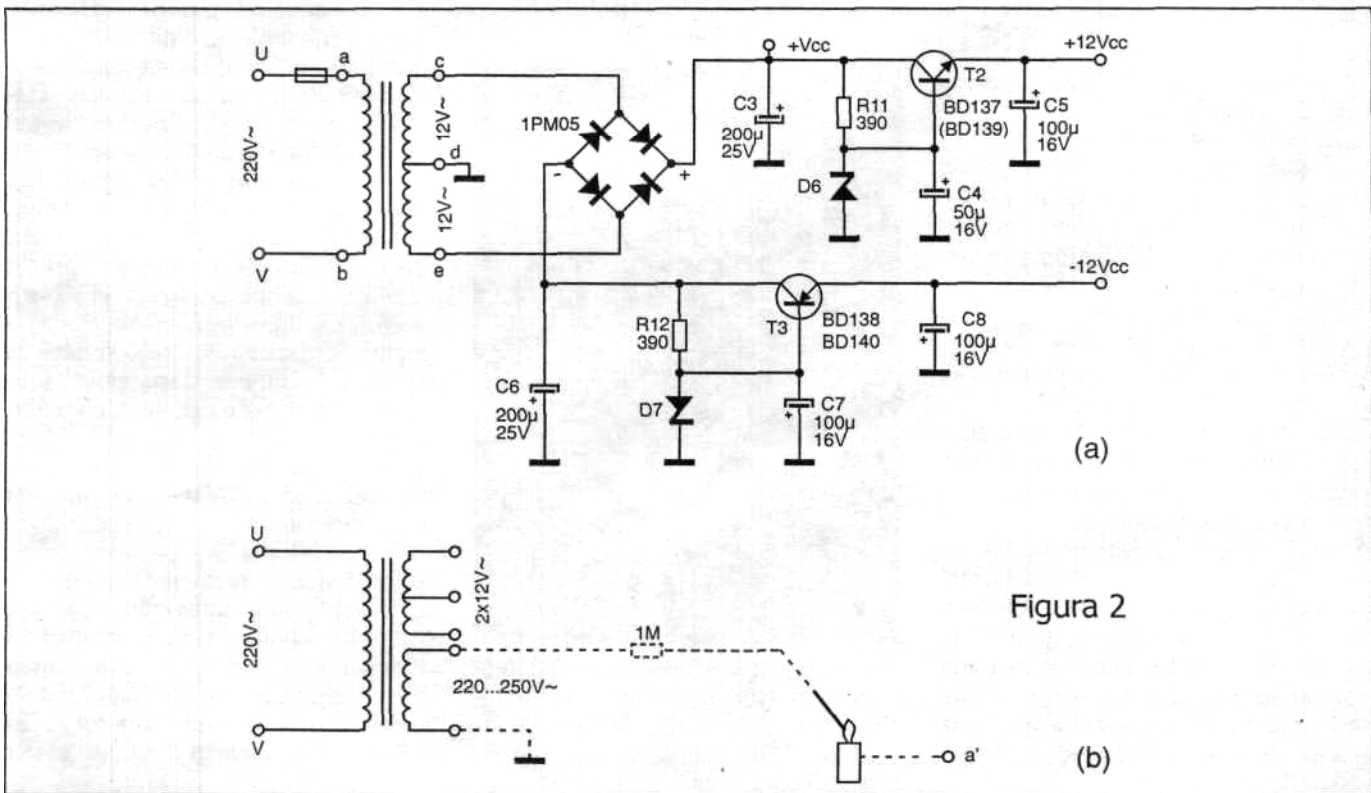


Figura 2

CUPRINS**AUDIO**

- | | |
|--|---|
| • Preamplificatoare audio de calitate cu LM 833 - Aurelian Lazaroiu..... | 1 |
| • Rostovomania (IV). Idei si solutii practice de imbunatatire
a magnetofonului ROSTOV - ing. Florin Gruia | 5 |

CQ-YO

- | | |
|--|---|
| • Receptor SSB cu 3 circuite integrate - ing. Dinu Cosfin Zamfirescu/Y03EM | 6 |
| • Oscilator US cu 4 benzi - ing. Petre Predoiu | 8 |

LABORATOR

- | | |
|---|----|
| • Laboratorul electronistului. Aparate de masura. Ghid de utilizare (VI). | |
| Frecventmetre digitale - ing. Serban Naicu..... | 9 |
| • Fazmetru analogic cu detectare de sens - ing. Cristian Pirvu | 10 |
| • Generator de semnale dreptunghiulare - Alexandru Zanca..... | 14 |
| • Voltmetru cu L.C.D. cu 41/2 digits - ing. Serban Naicu | 15 |

NOUTATI EDITORIALE 12

AUTO

- | | |
|---|----|
| • Ruptor electronic - Florin Tebrencu | 17 |
|---|----|

AUTOMATIZARI

- | | |
|--|----|
| • Termostat cu reglarea continua a puterii de Incalzire - fiz. Dan Covaci..... | 20 |
| • Supraveghetor de flacara - Traian Masa..... | 23 |

PAGINI DE ISTORIE

- | | |
|--|----|
| • Cei doi Thompson - ing. Serban Naicu | 24 |
|--|----|